

Vysoká škola: strøjní a textilní Liberec Katedra: materiálu a tváření

Fakulta: strojní

Školní rok: 1968/69

DIPLOMOVÝ ÚKOL

pro

Oskara Nagy

odbor

strojírenská technologie

Protože jste splnil..... požadavky učebního plánu, zadává Vám vedoucí katedry ve smyslu směrnic ministerstva školství o státních závěrečných zkouškách tento diplomový úkol:

Název tématu: Teoreticky řešte rozložení napětí v tavenině při vstřikování termoplastů do dutiny formy

Pokyny pro vypracování:

1. Zhodnoťte rozdíly a chování mezi newtonskými a nenewtonskými kapalinami.
2. Popiště postup vyplňování dutiny formy taveninou plastické hmoty při uvažování formy ve tvaru tyče kruhového nebo obdélníkového průřezu s umístěním vtoku na konci tyče a formy ve tvaru kotouče vstřikovaného centrálním vtokem.
3. Pro uvedené případy řešte rozdělení napětí v tavenině ve všech hlavních směrech během vyplnování dutiny.
4. Navrhnete experimentální způsoby pro studování rozdělení napětí.

Autorské právo je vydáno podle směrnice MŠK pro státní závěrečné zkoušky č. 1. 127/62-III/2 ze dne 13. července 1962. Vydáno MŠK XVIII, sešit 24 ze dne 31. 8. 1962 § 19 autorského zákona č. 115/53 Sb.

VYSOKÁ ŠKOLA STROJNÍ A TEXTILNÍ
Ústřední knihovna
LIBEREC 1, 4000 TSKA 5

✓ 381 1969

Rozsah grafických laboratorních prací:

Rozsah průvodní zprávy: **50 - 70 stran**

Seznam odborné literatury:

1. BARTĚNĚV, G.M.: Zakonoměrnosti i mechanizm vjazkovo tečení linějnych polimerov, "Plastičeskije massy", 1964, č. 12+ 20-26.
2. BAUER, W.: Der Formfüllvorgang beim Spritzguss von Thermoplasten. "Kunstoffe", 53, 1963: 210-217.
3. EULITZ, W.: Gesetzmässigkeiten beim Spritzguss von Thermoplasten. "Plastverarbeiten", 10, 1956: 377-382.
4. HOFFMANN, O.- SACHS, G.: Introduction of the Theory of Plasticity for Engineers - rusky překlad, Moskva 1957.
5. PEŠINA, A.: Základy teorie plasticity, skripta, SNTL, Praha 1965

Vedoucí diplomové práce:

Ing. Josef Krebs CSc

Konzultanti:

Ing. Alena Kaderábková

Datum zahájení diplomové práce: **16.10.1968**

Datum odevzdání diplomové práce: **10.7.1969**



Doc. Ing. Miroslav Kořínek CSc
vedoucí katedry

Prof. Ing. Cyril Höschl
děkan

VŠST Liberec

Fakulta strojní

Řešení napjatosti při
vstřikování termoplastů

Katedra MT

DP - ST/ 745 / 69-2

ŘEŠENÍ NAPJATOSTI V TAVENINĚ PLASTICKÉ HMOTY
PŘI VSTŘIKOVÁNÍ TERMOPLASTŮ

Diplomní práce

Vypracoval O.Nagy

Liberec, 10.7.1969

O. Nagy
91

O B S A H

List

Zadání diplomní práce	1
Titulní list	2
Obsah	3
1. SEZNAM POUŽITÝCH SYMBOLŮ	5
2. ROZDÍLY V CHEVÁNÍ MEZI NEWTONSKÝMI KAPALINAMI A TAVENINAMI PLASTICKÝCH HMOT	7
2.1. Základní pojmy	7
2.2. Rezber vztahu $\frac{dc}{dy} = f(T)$ pro isothermický vstří- kovací proces	9
2.3. Poznámka k některým novým výzkumům	11
3. VYPLŇOVÁNÍ DUTINY FORMY TAVENINOU PLASTICKÉ HMOTY	12
3.1. Vlnová modelová představa	12
3.2. Stručný rozbor procesu plnění dutiny formy taveninou plastické hmoty	12
3.3. Zadané případy	14
4. ŘEŠENÍ NAPJATOSTI V TAVENINĚ PLASTICKÉ HMOTY PŘI VSTŘIKOVÁNÍ TERMOPLASTŮ	16
4.1. Úvodní poznámka ke zvolenému postupu	16
4.2. Řešení napjatosti v tavenině plastické hmoty při vstříkování plochého kruhového kotouče centrálním vtokem	16
4.2.1. Zjednodušující předpoklady pro řešení	16
4.2.2. Rozbor napjatosti v obecném místě tekucí ta- veniny	17
4.2.3. Odvození zákona pro sdružená tečná napětí ...	18
4.2.4. Odvození obecných vztahů pro tečná napětí ...	19
4.2.5. Odvození diferenciálních rovnic rovnováhy ...	20
4.2.6. Řešení diferenciálních rovnic rovnováhy	23
4.2.6.1. Vyšetření tečného napětí σ_y	24
4.2.6.2. Vyšetření vztahu mezi σ_y a σ_r	26
4.2.6.3. Řešení diferenciálních rovnic rovnováhy pro napětí σ_r , pomocí metody variačce konstanty ...	28
4.2.6.4. Výpočet normálného napětí σ_y	29
4.2.6.5. Výpočet normálného napětí σ_y	30
4.3. Řešení napjatosti v tavenině plastické hmoty při vstříkování tyčinky kruhového průřezu ...	31

VŠST Liberec	Řešení napjatosti při vstříkování termoplastů	Katedra MP
Fakulta strojní		DP-ST / 745 / 69-4

4.3.1. Předpoklady řešení	31
4.3.2. Rozbor napjatosti v obecném místě tekucí te- veniny	32
4.3.3. Ovzdení diferenciálních rovnic rotační	32
4.3.4. Řešení diferenciálních rovnic rotační	33
4.3.4.1. Výpočet tečného napětí τ_y	33
4.3.4.2. Výpočet normálního napětí σ_y	34
4.3.4.3. Určení normálních napětí σ_y a σ_z	35
4.4. Řešení napjatosti v tavenině plastické hmoty při vstříkování ploché tyče obdélníkového průřezu	36
4.4.1. Předpoklady pro řešení	36
4.4.2. Rozbor napjatosti v obecném místě tekucí te- veniny	37
4.4.3. Ovzdení diferenciálních rovnic rotační	37
4.4.4. Ovzdení tečného napětí τ_{zx}	38
4.4.5. Ovzdení vztahu pro normální napětí σ_x	39
4.4.6. Ovzdení normálních napětí σ_y a σ_z	40
4.5. Seznam konstant použitých při výpočtu	41
5. OBECNÝ POSTUP ŘEŠENÍ NAPJATOSTI V TAVENINĚ PLASTICKÉ HMOTY PŘI VSTŘÍKOVÁNÍ TERMOPLASTŮ	42
5.1. Zjednodušená metoda s použitím parabolického rychlostného profilu	42
5.2. Metoda vycházející z derivačního mechanického zákona	43
6. MOŽNOSTI KINEMATICKÉHO STUDIA NAPJATOSTI V TAVENINĚ VSTŘÍKOVAK PLASTICKÉ HMOTY	45
6.1. Stručný rozbor problémů	45
6.2. Nejjednodušší fetoelastometrická metoda	45
6.3. Princip fetoelastometrické metody	45
7. ZDĚLENÉ ZHODNOTENÍ ZŠÍŘENÝCH VÝSLEDKŮ A DOPORUČENÝ DALŠÍ POSTUP	47
8. SEZNAM OBRÁZKŮ	48
9. SEZNAM POUŽITÉ LITERATURY	50

1. SLOVNAK POUZITÝ V DOKONČENÍ

Symbol Význam

C	rychlosť prenosu tepla	-1
G	průměrná poloha delaf. formy v trubici	-1
Cr, Cg, Cy, Cx, Cz	rychlosť v určitých směrech	-1
C_{max}	maximální rychlosť	-1
\bar{C}	střední rychlosť	-1
T	celkové napětí	-2
T_{max}	maximální napětí	-2
T_x, T_y, T_z	základní napětí	-2
T_{xz}, \dots, T_{yz}	odstílené základní napětí	-2
T_m	základní napětí	-2
T_{yz}	základní základní napětí	-2
x, y, z	orientace	-2
η	soudímateľský faktor	-2
p	síla	-2
P_{max}	maximální síla	-2
T	teplota	-2
M	zatížkovací můstek	-2
η_{ad}	základní výhodnosti	-2
n	exponent u výrovnávacího faktoru	-1
Φ	generačná fáza	-1
σ_0	počínajúce základné napětie	-2
p_0	vzdialosť ťažia	-2
h	členitá plackova výška	-2
r	polomer	-1
β	angulus rychlosť	-1
α, β, γ	úhel	-2
t	čas	-2
$S_1 \div S_4$	plastif.	-2
$C, C_1 \div C_9, K$	konstanty	-2
p	parametr pravdepodobnosť	-2
ρ	čistá hmotnosť	-3

1. SEZNAM POUŽITÝCH SYMBOLŮ

Symbol	Význam	Rozměr
C	rychlosť prudké tekutiny	m . s ⁻¹
C _f	rychlosť pohybu čela fronty taveniny ..	m . s ⁻¹
C _r , C _y , C _y , C _x , C _z	rychlosťi ve směrech souřadných os	m . s ⁻¹
C _{max}	maximální rychlosť	m . s ⁻¹
\bar{C}	střední rychlosť	m . s ⁻¹
T	tečné napětí	N . m ⁻²
T _{mez}	mezné smykové napětí	N . m ⁻²
T _r , T _y , T _y	tečné napětí	N . m ⁻²
T _{ry} , T _{xz}	sdužená tečné napětí	N . m ⁻²
T _m	maximální smykové napětí	N . m ⁻²
T _{yr}	střední tečné napětí	N . m ⁻²
x, y, z	odlehlosť	m
η	součinitel dynamické viskozity	N . s . m ⁻²
P	síla	N
P _{mez}	mezná síla	N
T	teplota	K
M	molekulová hmota	-
η_{zd}	zdálivá viskozita	N . s . m ⁻²
n	exponent u močinového zákona	-
$\tilde{\Phi}$	generalizovaná fluidita	N . s ⁻¹ . m ²
σ_0	normálné tahové napětí	N . m ⁻²
p _o	vstříkovací tlak	N . m ⁻²
h	tloušťka plochého výstřiku	m
r	poloměr	m
j _y	smyková rychlosť	s ⁻¹
α, β, γ	úhly	rad., °
t	čas	s
S ₁ ÷ S ₄	plochy	m ²
C, C ₁ ÷ C ₉ , K	konstanty	-
p	parametr paraboly	m
ρ	měrná hmota	kg . m ⁻³

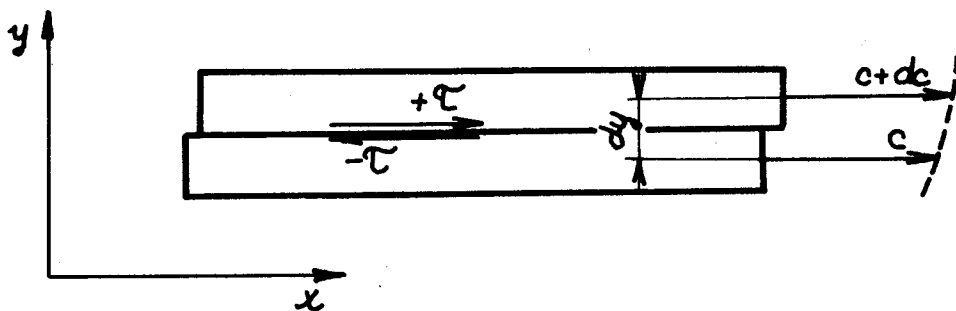
\bar{M} vteřinová průtočná hmota kg . s⁻¹
 r_0 poloměr vtoku m
 R poloměr dutiny formy m
 S plocha m²
 V vteřinový průtočný objem m³ . s⁻¹
 b šířka dutiny formy m

2. ROZDÍLY V CHOVÁNÍ MEZI NEWTONSKÝMI KAPALINAMI A TAVENINAMI PLASTICKÝCH HMOT

2.1. Základní pojmy

Vyjděme z obecné definice tekutiny, tak jak ji podává klasická hydrodynamika (9). Podle ní je tekutina hmotné těleso, jehož jednotlivé částečky se vůči sobě velmi snadno pohybují, takže může téci, t.j. měnit svůj tvar za působení nepatrých sil. Čím jsou změny tvaru tekutiny pomalejší, tím jsou působící síly menší. Při proudění nízkomolekulárních vazkých kapalin vzniká tření mezi sousedními vrstvami kapaliny, které se pohybují různou rychlosťí; nazývá se vnitřní tření. Síly vnitřního tření mají směr tečný k povrchu vrstvy a působí tak, že zpomalují pohyb rychlejších vrstev a zrychlují pohyb pomalejších vrstev. Vlivem uvedeného jevu vzniká mezi sousedními vrstvami kapaliny tečné napětí τ které podle Newtonovy hypotézy je úměrné gradientu rychlosti $\frac{dc}{dy}$

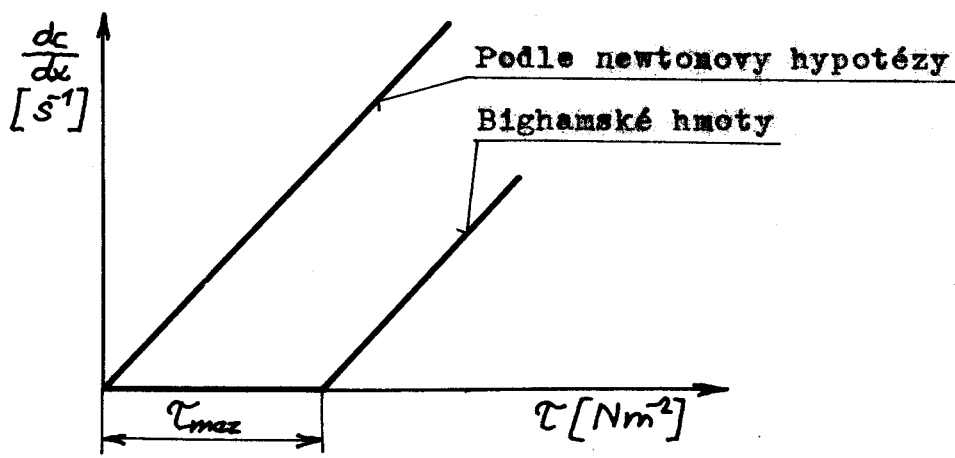
$$\tau = \eta \frac{dc}{dy} \quad (2.1.)$$



Obr. 1

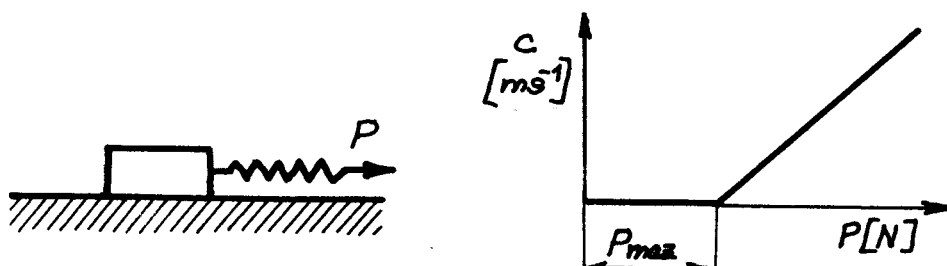
Konstantou úměrnosti ve vztahu (2.1.) je tzv. dynamická viskozita η , která má rozdíl $[N \cdot s \cdot m^{-2}]$ při uvažovaném napětí τ v $[N \cdot m^{-2}]$, rychlosti c v $[m \cdot s^{-1}]$ a odlehlosti y v $[m]$.

Plastické hmoty jsou materiály, jejichž podstatnou složkou tvoří vysokomolekulární organické sloučeniny uhlíku. Taveniny plastických hmot bývají často v literatuře označovány jako neneWTonské tekutiny (5), protože jejich reologické vlastnosti jsou odlišné od reologických vlastností nízkomolekulárních tekutin, které se řídí Newtonovým zákonem. Jako příklad neneWTonského chování lze užít třeba tzv. Bighamské hmoty, jejichž závislost $\dot{\gamma} = \Gamma(\frac{dx}{dt})$ je na obr. 2.



Obr. 2

Zde T_{max} představuje jakési mezné smykové napětí po jehož překročení teprve dojde k tečení látky. Podobné vlastnosti vykazuje mechanický model vytvořený spojením Saint - Venantova tělesa s pružinou / podle obr. 3 /.



Obr. 3

Důvodem zvláštního chování tavenin plastických hmot je proměnný koeficient dynamické viskozity. Je závislý na teplotě taveniny T, velikosti působícího smykového

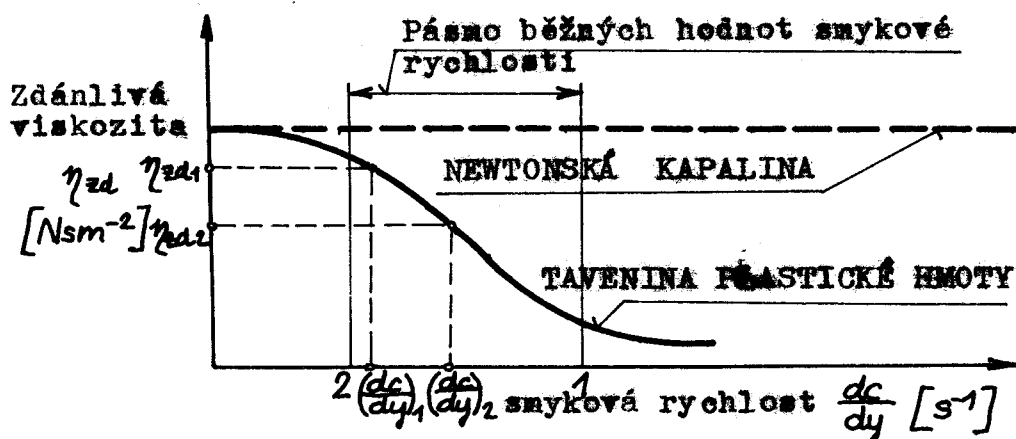
napětí τ a na molekulové hmotě M .

$$\eta = \eta_0 \cdot \eta_1(T) \cdot \eta_2(\tau) \cdot \eta_3(M) \quad (2.2)$$

Jednotlivé dílčí vztahy jsou podrobň zpracovány v literatuře (2) a nebudu je zde rozebírat. Jedná se o obecné exponenciální závislosti.

2.2. Rozbor vztahu $\frac{dc}{dy} = f(\tau)$ pro isotermický vstříkovací proces

Při uvažování isotermického režimu vstříkování bude ve vztahu (2.2) $\eta_1(T)$ = konst a pro danou plastickou hmotu bude $\eta_3(M)$ = konst. Pak závisí viskozita taveniny plastických hmot pouze na smykové rychlosti $\frac{dc}{dy}$ a Newtonovu hypotézu lze psát vždy jen pro danou smykovou rychlosť, jak je zřejmé z obr. 4



Obr. 4

Zřejmě platí: $\tau_1 = \eta_{zd1} \left(\frac{dc}{dy} \right)_1, \quad \tau_2 = \eta_{zd2} \left(\frac{dc}{dy} \right)_2$.

Obecně tedy: $\tau_i = \eta_{zdi} \left(\frac{dc}{dy} \right)_i$.

Jde o to majít jednoznačnou závislost $\frac{dc}{dy} = f(\tau)$

V literatuře je možno nalézt různé vztahy (1), (2), (3), (5)

Pro svůj poměrně jednoduchý tvar je však nejpoužívanější tento:

$$\frac{dc}{dy} = \frac{1}{\eta} \cdot \tau^n$$

uváděný pod názvem mocninový zákon. Jedná se o jakousi obdobu Newtonova zákona získanou na základě empirických zkušeností.

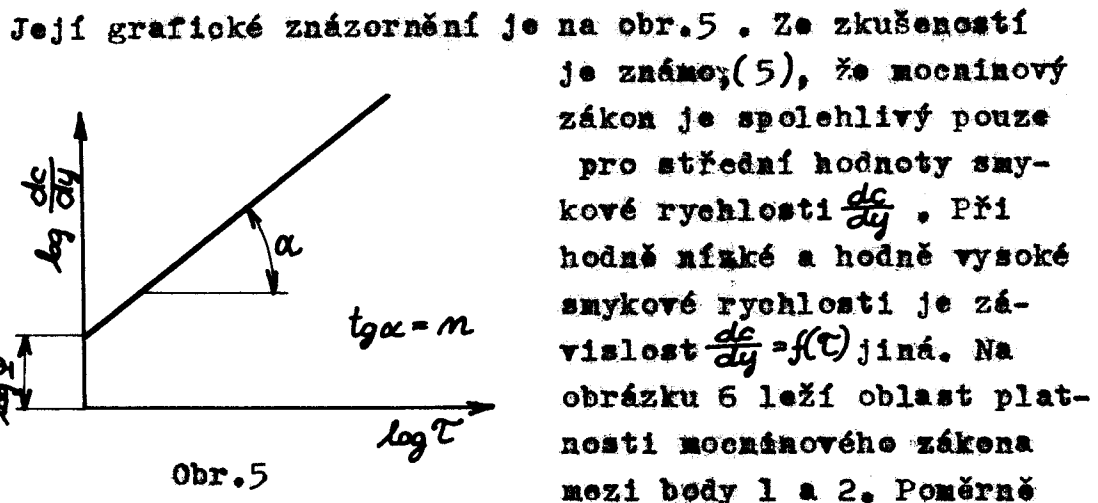
$$\dot{\tau}^m = \eta \frac{dc}{dy} = \frac{1}{\Phi} \frac{dc}{dy}, \quad (2.3)$$

kde Φ je označována jako generalizovaná fluidita.

Ze vztahu (2.3) je zřejmé, že k charakterisování rheologických vlastností taveniny plastické hmoty při teplotickém procesu je nutno znát hodnoty koeficientu n a fluidity Φ . Velikost n je konstantou daného materiálu a nezávisí na teplotě / na rozdíl od Φ / . Hodnoty obou konstant lze poměrně spolehlivě určit měřením na vytlačovacím plastoměru.

Logaritmováním mocninového zákona (2.3) lze získat tuto přímkovou závislost:

$$\log \frac{dc}{dy} = n \log \dot{\tau} + \log \Phi$$

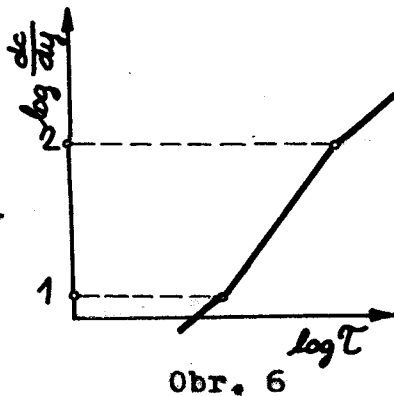


chování tavenin plastických hmot v celém rozsahu smykových rychlostí pomocí vztahu $\dot{\tau} = \dot{\tau}(\frac{dc}{dy})$, který odvedli páni Eyring a Powell. Při velmi malé a velmi vysoké smykové rychlosti získáme tak obdobu Newtonova zákona , což odpovídá praktickým zkušenostem vyjádřeným v obr.4. Zmíněný vztah se však nepoužívá pro obtížné stanovení některých konstant, protože ho zde ani neuvedu.

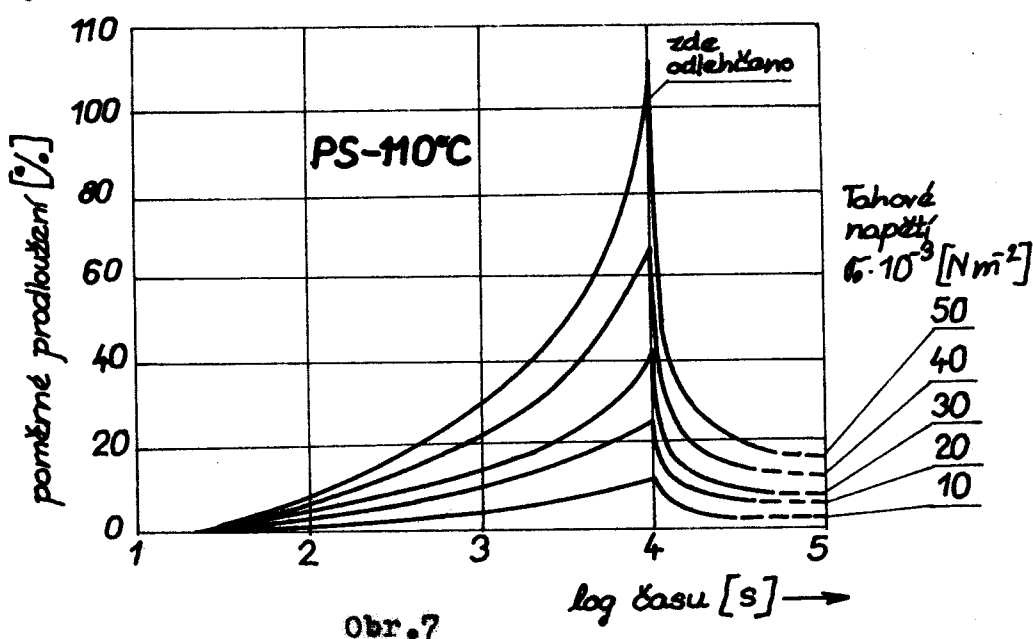
K řešení, která budou odvozena v této práci, bude použito moeninového zákona.

2.3 Poznámka k některým novým výzkumům

V závěru této kapitoly se všimněme některých nových poznatků o taveninách plastických hmot. Podle práce (5) je možno taveniny plastických hmot považovat za elastické tekutiny, pro jejichž napětí a deformace platí obdobné vztahy jako pro tuhé plastické hmoty. Z reologického hlediska tedy půjde o viskoelastické tekutiny, jejichž chování je možno popsat třeba analogií s Maxwellovým nebo Kelvinovým modelem. Pro uvedení této teorie mluví například výsledky měření autorů Karama a Bellingera (5) které jsou zobrazeny na obr. 7.



Obr. 6



Obr. 7

Polystárenová tavenina o teplotě 110°C / tedy mžší, než teplota zeskelnění /byla zatěžována tahovým napětím σ_0 o různé velikosti.

VŠST Liberec	Řešení napjatosti při vstřikování termoplastů	Katedra MT
Fakulta strojní		DR-ST/745/69-12

Obrázek 7 představuje časový průběh poměrného prodloužení při zatížení a po odlehčení. Čím větší je hodnota napětí σ_0 , tím zřetelnější je odpružení.

Vstřikovací teplota Polystyrenu není 110°C ; je asi dvakrát vyšší. Dá se tedy předpokládat, že s rostoucí teplotou bude se pružná složka deformace zmenšovat a převládnou plastické děje.

V této práci budou pružné vlastnosti taveniny zanedbány, proto nebudu uvedený případ podrobněji rozvírat.

3. VYPLŇOVÁNÍ DUTINY FORMY TAVENINOU PLASTICKÉ HMOTY

3.1. Vlnová modelová představa

K popsání dějů při plnění dutiny formy taveninou plastické hmoty je možno vytvořit modelovou představu opírající se o teorii šíření vln (6). Podle ní se materiál od ústí vtoku šíří v podobě kulové vlny, která tvoří obálku jednotlivých vlnoploch dílčích, s centry v jednotlivých bodech vtoku.

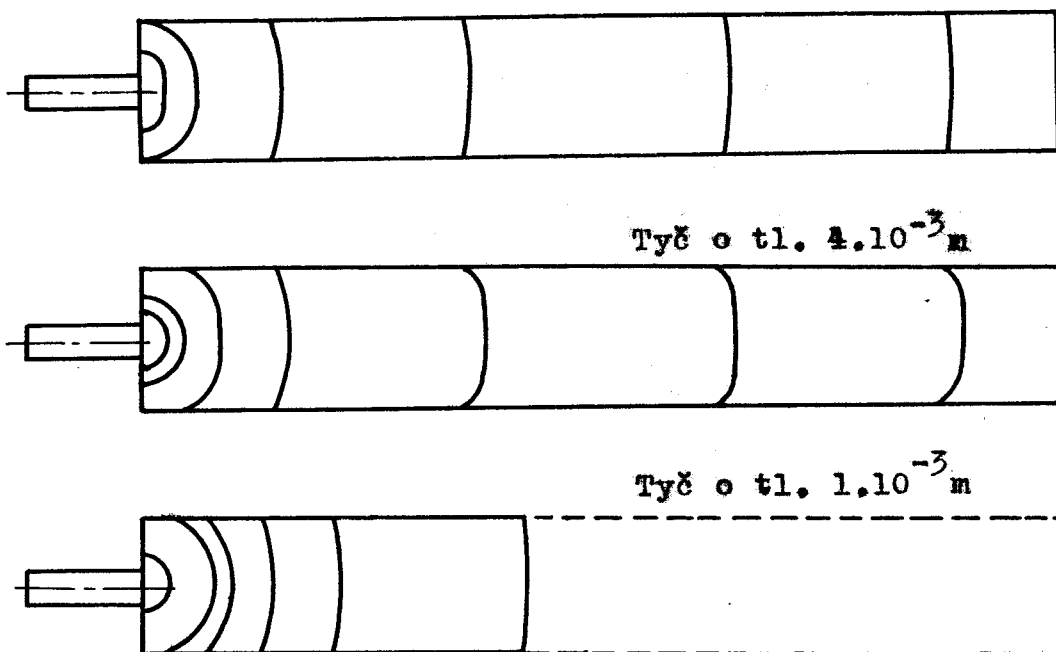
Lze-li zanedbat tloušťku výstřiku oproti jeho šířce, případ se mění na dvojrozměrný. Pak kružnice opsaná ze středu vtoku vytvoří čele proudící taveniny.

U skutečných případů je tvar vlnoploch zkreslován vlivem třená taveniny o stěnu formy. V práci (6) byly porovnány výsledky experimentů s teoretickou představou. Bylo například zjištěno, že vezmu-li dvě tyče o tloušťkách 0,001 m a 0,004 m, pak u tenčí tyče se skutečné vlnoplochy s teoretickými shodují více ve větší vzdálenosti od vtoku, u tlustší je shoda peblíž vtoku / jak je zřejmé z obr. 8 /.

3.2. Stručný rozbor procesu plnění dutiny formy taveninou plastické hmoty

Důležitými charakteristikami vstřikovacího procesu jsou vstřikovací tlak p_0 a rychlosť pohybu čelní fronty taveniny q_0 .

Teoretický případ

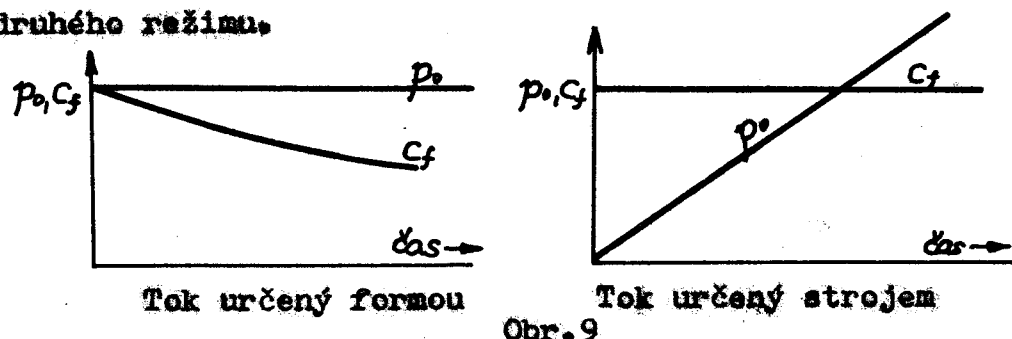


Obr. 8

Podle charakteru jejich průběhu je možno zjistit, zda je tok plastické hmoty uvnitř dutiny formy ovlivněn formou nebo strojem.

Tzv. tok ovlivněný formou představuje vstříkovací režim, při němž je maximální hodnota tlaku dosažena dříve, než je forma zcela zaplněna. Další plnění pak pokračuje za konstantního tlaku. Vlivem růstu odporu v dutině formy bude rychlosť pohybu čelní fronty taveniny klesat.

Tzv. tok určený strojem představuje vstříkovací režim, při němž vstříkovací tlak nedosáhne maxima před zaplněním formy. Tlak tedy stoupá a rychlosť pohybu čelní fronty taveniny zůstává konstantní (kolem hodnoty $0,5 \text{ m.s}^{-1}$). V praxi je obvykle snaha po dosažení tehoto druhého režimu.



Obr. 9

Děje probíhající při vstřikovacím procesu jsou velice složité a závisejí na mnoha různých okolnostech. Především dochází ke sdílení tepla mezi proudící taveninou a chladnou stěnou formy jejíž teplota je hluboko pod teplotou taveniny. Stykem s formou ztuhne okamžitě na jejím povrchu tenká vrstvička hmoty, která pak působí isolačně při pohybu další taveniny a způsobuje známý fakt, že jakost povrchu formy nemá podstatný vliv na pohyb materiálu ve formě. Tloušťka ztuhlé vrstvičky je závislá jednak na rychlosti jejího růstu, jednak na čase, po který musela růst. V místě vyústění vteku do formy je čas růstu největší, ale rychlosť růstu nejmenší, protože zde je neustále do formy dodáván nový tekutý materiál. Naproti tomu na čelní frontě taveniny je čas růstu nulevý, ale rychlosť růstu největší.

Při tlakovém lití kovů ztuhne materiál od nejvzdálenějšího místa formy směrem k ústí vteku. Při vstřikování termoplastů je tomu právě naopak, vlivem neusměrněného ztuhnutí.

Kromě uvedeného vstřikovacího tlaku a rychlosti pohybu čelní fronty taveniny hraje značnou úlohu při vstřikovacím procesu i vstřikovací teplota materiálu, tepla formy, průřez vstřikovacího kanálku a další (1). Nebudu je zde podrobně rozebírat.

3.3. Zadané případy

Při vstřikování plochého kruhového koteuče centrálním vtokem rozlévá se tavenina z místa vteku rovnoměrně na všechny strany a výsledná vlnoplocha je dána kružnicí opsanou ze středu vteku. Potvrzuji to výsledky experimentů s nedostříknutými výrobky v práci (6). Z hydrodynamického hlediska by šlo při potenciálním proudění o tzv. pramen. Při předpokladu nestlačitelné tekutiny a stálé průtečné hmoty M by rychlosť pohybu taveniny protirostoucí odlehlosti r klesala podle rovnice hyperboly.

VŠST Liberec	Řešení napjatosti při vstříkování termoplastů	Katedra MT
Fakulta strojní		DP - ST/745/69-15

Při vstříkování tyčinky kruhového průřezu, jejíž průměr je značně menší než její délka, lze zanedbat zakřivení čelní fronty tečení způsobené vlnovým charakterem proudění. Při konstantním vteřinovém průtočném množství \dot{M} se rychlostní profil po délce formy nemění.

U plechové tyče mohou nastat dva případy. První, složitější, vzniká při plnění formy malým kruhovým vtokem, umístěným na kratší boční straně výstříku. Zde se zřetelně projeví vlnový charakter proudění (6) a je nutno brát na to ohled při výpočtu napjatostí.

Jednodušší případ nastává při plnění formy podélním bočním zárezem. Vzniká tak vlastně paralelní proudění a lze formu uvažovat v podobě dvou rovnoběžných, nekonečně velkých revin.

Podrobný rozbor každého vyšetřovaného případu je uveden ve vlastním výpočtu napjatosti.

Výpočet buce omezen pouze na tu část vstříkovacího procesu, po kterou je čelní fronta taveniny v pohybu.

**4. ŘEŠENÍ NAPJATOSTI V TAVENINĚ PLASTICKÉ HMOTY
PŘI VSTŘIKOVÁNÍ TERMOPLASTŮ**

4.1. Úvodní poznámka ke zvolenému postupu

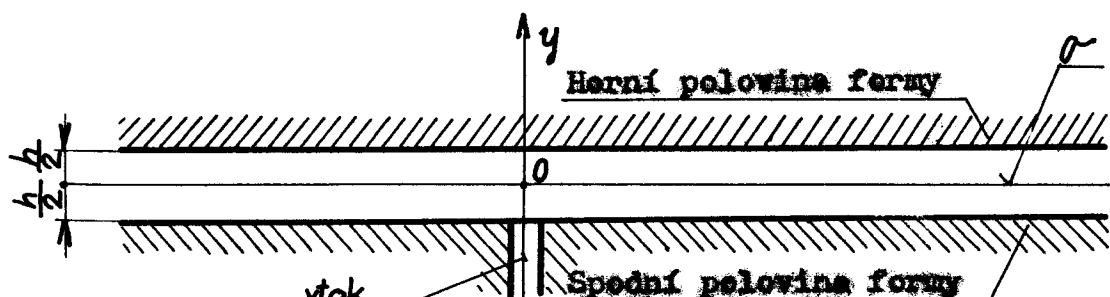
V tomto oddíle bude odvozena napjatost v proudící tavenině plastické hmoty pro tři základní tvary výstřiků. Zvolme k tomu účelnou metodu, při níž budeme postupovat od obecnějšího ke speciálnějšímu a jednoduššímu. Tento postup bude zřejmě exaktnejší, než opačný případ, kdy bychom postupevali od jednoduchého ke složitému. Jednoduchý případ často svádí k tomu, že jednoduché závislosti na něm vypočítané se snažíme aplikovat na obecnější případ, aniž si uvědomíme rozdíl v obecnosti obou vztahů. Z těchto důvodů odvodíme nejprve napjatost u dutiny formy ve tvaru kruhového kotouče s centrálním vtokem.

4.2. Řešení napjatosti v tavenině plastické hmoty při vstříkování plochého kruhového kotouče centrálním vtokem

4.2.1. Zjednodušující předpoklady pro řešení

Ve zcela obecném případě jsou děje při plnění vstříkovací formy velice složité. Proto pro následující případ zavedme tyto předpoklady:

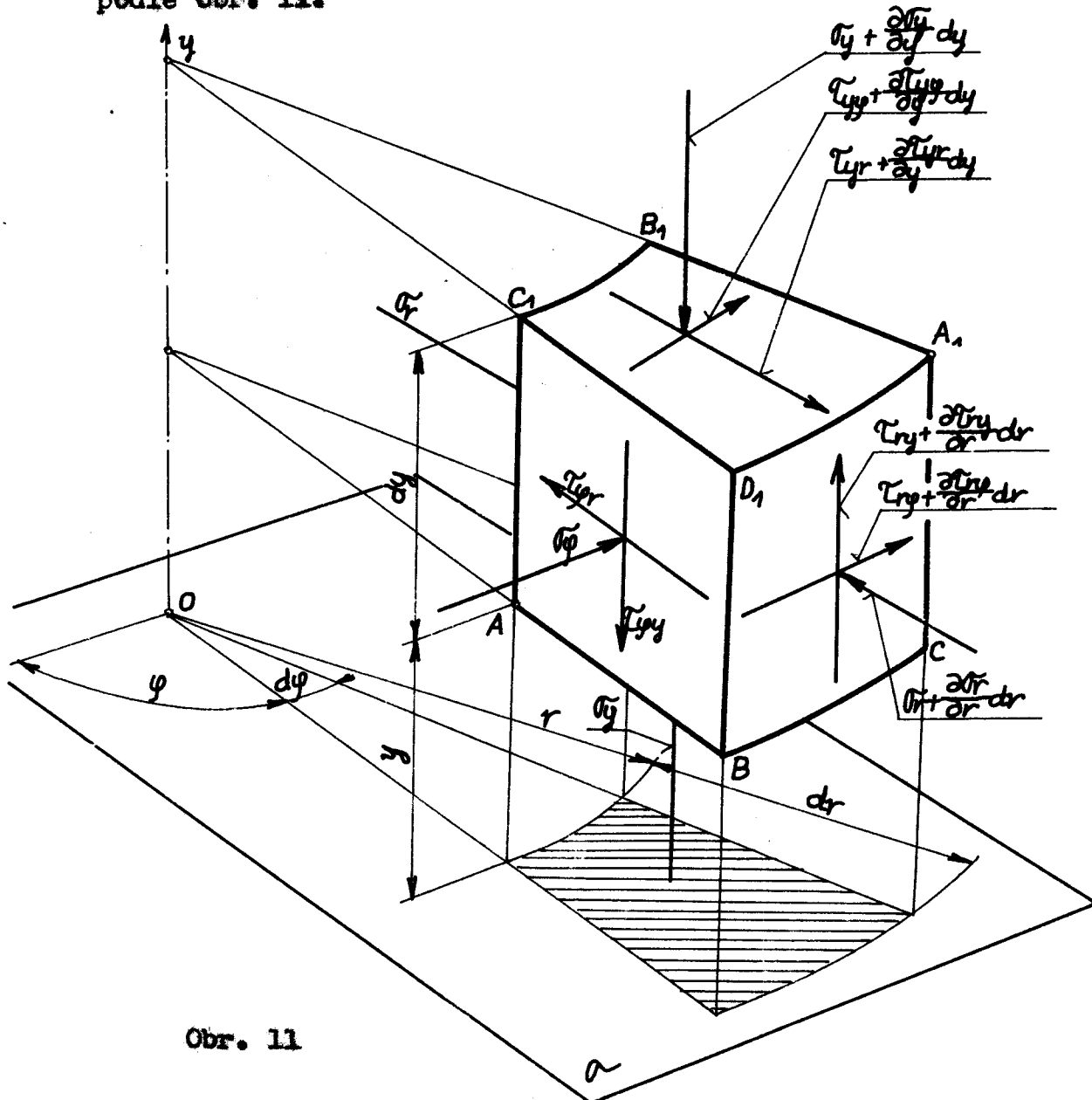
1. Proudění je isotermické, stacionární a laminární
2. Vstříkovaná tavenina plastické hmoty je homogenní, nepružná a nestlačitelná tekutina.
3. Setrváčné a gravitační síly zanedbáme.
4. Při výpočtu smykového napětí uvažujeme po celé délce tečení plně vyvinutý parabolický rychlostní profil.
5. Napjatost je souměrná podle osy y (osa vtoku) a rovinu σ , která je kolmá k ose y a leží uprostřed dutiny formy (jak je zřejmé z obr. 10)



Obr. 10

4.2.2. Rozbor napětí v obecné místě tečecího taveniny

Vytáhneme v dutině formy obecný element taveniny podle obr. 11.



Obr. 11

Stav napjatosti v bodě A (r, y, y) lze určit pomocí napětí, jež působí ve třech elementárních ploškách přilehlých k bodu A. Jsou to jednak normálná napětí $\sigma_r, \sigma_y, \sigma_y$, jednak tečná napětí, která existuje

v ploše A D B₁C₁ τ_r se složkami τ_{ry}, τ_{yy}

v ploše A B D₁C₁ τ_y se složkami τ_{yr}, τ_{yy}

v ploše A B C D τ_y se složkami τ_{yr}, τ_{yy}

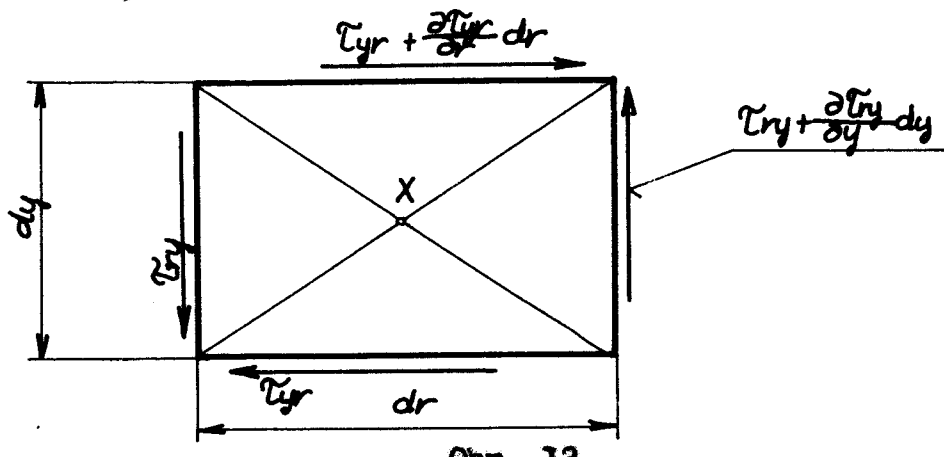
Indexy u tečných napětí jsou voleny tak, že první index značí směr normály plošného elementu, na nějž napětí působí, druhý index značí směr tečného napětí.

Stav napjatosti bodu A₁ ($r+dr, y+dy, y+dy$) představují složky normálních i tečných napětí bodu A zvětšené o příslušné diferenciální přírůstky ve směrech souřadných os.

4.2.3. Odvození zákona pro sčítání tečné napětí

Dokažme, že šest složek tečného napětí se dělají redukovat na tři. V této a následující úvaze používajeme zjednodušení, podle něhož obecný element z obr. 11 nahradíme hranolcem o stranách dy, dr, rdy .

Vyjádřeme nyní za použití obr. 12 podmínku rovnováhy otáčení hranolku podle osy, která prochází středem X kolmo k ploše $dr \cdot dy$.



Obr. 12

Pak podle obr. 12 :

$$(2\tau_{yy} + \frac{\partial \tau_{yy}}{\partial y} \cdot dy)rdy \cdot dy \frac{dr}{2} -$$

$$- (2\tau_{rr} + \frac{\partial \tau_{rr}}{\partial r} \cdot dr)rdy \cdot dr \frac{dy}{2} = 0$$

Zanedbáme-li druhé členy v závorkách jako nekonečně malé veličiny vyššího rádu, je

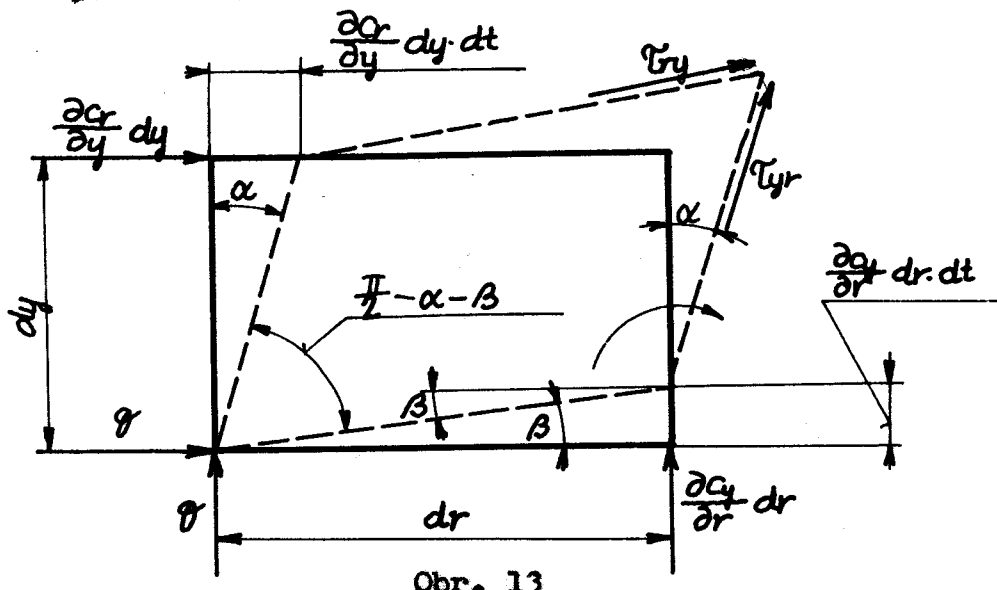
$$\bar{\tau}_{ry} = \bar{\tau}_{yr} \quad \text{a obdobně} \quad \bar{\tau}_{ry} = \bar{\tau}_{yr}, \bar{\tau}_{yy} = \bar{\tau}_{yy}, \quad (4.1)$$

4.2.4. Odvození obecných vztahů pro kruhová napětí

Podle mocninového zákona

$$\bar{\tau}^m = \eta \frac{dy}{dr} - \eta \cdot j, \quad (4.2)$$

kde j je relativní úhlová rychlosť natočení pôvodne pravouhlých stén elementárneho hranolku zatíženého snykovým napäťom $\bar{\tau}$. V obecném prípade dejde v dôsledku nestejných obvodových rychlosťí ke zborceniu hranolku, jak je zjednodušené zakresleno na obr. 13.



Obr. 13

Pôvodne pravý úhel se zmениl o velikosť súčtu $(\alpha + \beta)$. Príslušná úhlová rychlosť natočení je tedy

$$j = \frac{\alpha + \beta}{dt}.$$

Zavedeme-li pre malé úhly $\sin \alpha = \alpha$ a $\sin \beta = \beta$, pak

$$\alpha = \frac{\frac{\partial \sigma_r}{\partial y} \cdot dy \cdot dt}{dy} = \frac{\partial \sigma_r}{\partial y} dt,$$

$$\beta = \frac{\frac{\partial c_y}{\partial r} \cdot dr \cdot dt}{dr} = \frac{\partial c_y}{\partial r} \cdot dt .$$

Tedy úhlová rychlosť

$$\dot{\gamma} = \frac{\partial c_r}{\partial y} + \frac{\partial c_y}{\partial r}$$

a příslušné tečné napětí

$$\tau_{ry} = \tau_{yr} = \eta^{\frac{1}{m}} \left(\frac{\partial c_r}{\partial y} + \frac{\partial c_y}{\partial r} \right)^{\frac{1}{m}}.$$

Uvažujeme-li stejným způsobem zkoušení ostatních stěn hranolku, dostaneme analogické vztahy:

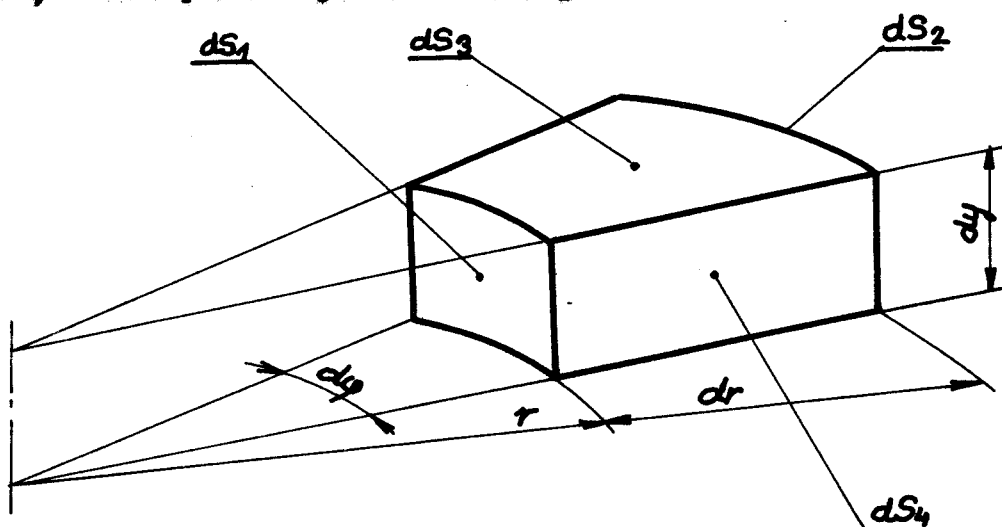
$$\tau_{ry} = \tau_{yr} = \eta^{\frac{1}{m}} \left(\frac{\partial c_r}{\partial \varphi} + \frac{\partial c_\varphi}{\partial r} \right)^{\frac{1}{m}},$$

$$\tau_{yy} = \tau_{\varphi y} = \eta^{\frac{1}{m}} \left(\frac{\partial c_y}{\partial \varphi} + \frac{\partial c_\varphi}{\partial y} \right)^{\frac{1}{m}}$$

} (4.3)

4.2.5. Odvození diferenciálních rovnic rovnováhy

Spočtěme nejprve velikosti elementárních plášťů, na něž působí jednotlivá napětí.



Obr. 14

Z obr.14 je zřejmé, že

$$dS_1 = r dy dy,$$

$$dS_4 = dr dy,$$

$$dS_2 = (r+dr) dy dy = r dy dy + dr dy dy,$$

$$dS_3 = \frac{dy^2 \cdot \pi}{360} [(r+dr)^2 - r^2] = \frac{dy^2}{2} [(r+dr)^2 - r^2] = \\ = \frac{dy^2}{2} (r^2 + 2rdr + dr^2 - r^2).$$

Zanedbáme-li dr^2 jako nekonečně malou veličinu vyššího řádu, pak

$$dS_3 = r dr dy.$$

Z kinematického rozboru úlky vyplývá, že v uvažovaném případě rychlosť C_r na určitém poloměru r je pouze funkcií promenné y , což zapíšeme ve tvaru $\frac{C_r}{r=konst} = C_r(y)$

Rychlosti v dalších dvou směrech jsou rovny nule

$$C_x = C_y = 0.$$

Pak tečná napětí podle (4.3) budou

$$\begin{aligned} \tilde{\tau}_{ry} - \tilde{\tau}_{yr} &= \eta^{\frac{1}{m}} \left(\frac{\partial C_r}{\partial y} \right)^{\frac{1}{m}}, \\ \tilde{\tau}_{ry} &= \tilde{\tau}_{yr} = \tilde{\tau}_{yy} = \tilde{\tau}_{yy} = 0. \end{aligned} \quad \left. \right\} (4.4)$$

S použitím těchto výsledků napišme nyní podmínky rovnováhy sil do radiálního směru a do směru osy y . Podle předpokladů řešení zanedbáme objemové síly / setrvačné a tihové /.

Rovnováha sil do směru osy y

$$\begin{aligned} & \left(\tilde{\tau}_{ry} + \frac{\partial \tilde{\tau}_{ry}}{\partial r} dr \right) (r dy dy + dr dy dy) - \\ & - \tilde{\tau}_{ry} \cdot r \cdot dy \cdot dy - \left(\tilde{\tau}_y + \frac{\partial \tilde{\tau}_y}{\partial y} dy \right) r dy dr + \\ & + \tilde{\tau}_y r dy dr = 0. \end{aligned}$$

Po rozepsání

$$\begin{aligned} \tilde{\sigma}_{ry} r dy dr + \frac{\partial \tilde{\sigma}_{ry}}{\partial r} dr r dy dr + \tilde{\sigma}_{ry} dr dy dr + \\ + \frac{\partial \tilde{\sigma}_{ry}}{\partial y} dr dy dr - \tilde{\sigma}_{ry} r dy dr - \tilde{\sigma}_y r dy dr + \\ + \frac{\partial \tilde{\sigma}_y}{\partial y} dy r dy dr + \tilde{\sigma}_y r dy dr = \theta. \end{aligned}$$

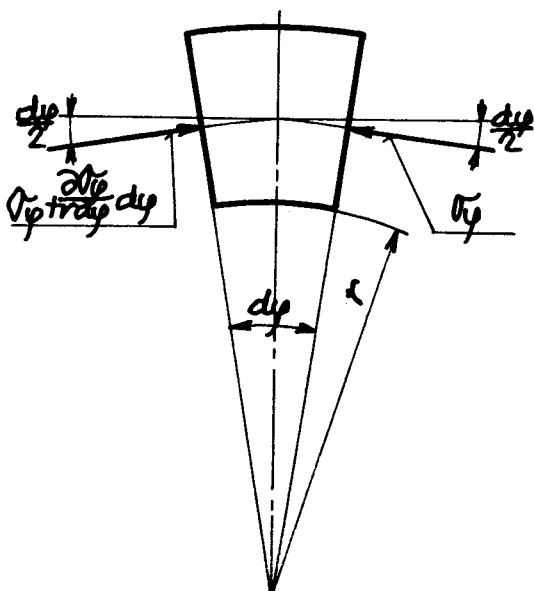
Vydělme obě strany rovnice součinem dr. dy .dy

$$\frac{\partial \tilde{\sigma}_{ry}}{\partial r} \cdot r + \tilde{\sigma}_{ry} + \frac{\partial \tilde{\sigma}_{ry}}{\partial y} + \frac{\partial \tilde{\sigma}_y}{\partial y} \cdot r = \theta.$$

Výsledná diferenciální rovnice rovnováhy do směru osy y bude tedy

$$\tilde{\sigma}_{ry} + \frac{\partial \tilde{\sigma}_{ry}}{\partial r} (1+r) + \frac{\partial \tilde{\sigma}_y}{\partial y} \cdot r = \theta. \quad (4.5)$$

Předpoklad o osové souměrnosti úlohy potvrzuje rovnováha do tečného směru / získaná z obr.15 /



Obr.15

$$\frac{\partial \tilde{\sigma}_y}{\partial \varphi} dy = \theta, \quad (4.6)$$

protože

$$\begin{aligned} (\tilde{\sigma}_y + \frac{\partial \tilde{\sigma}_y}{\partial \varphi} dy) dr dy \frac{1}{\cos \alpha_y} - \\ - \tilde{\sigma}_y dr dy \frac{1}{\cos \alpha_y} = \theta \end{aligned}$$

Protože diferenciální přírůstek napětí je roven nule, je $\tilde{\sigma}_y$ na daném poloměru a při dané odlehlosti y konstantní.

Rovnováha sil do radiálního směru

Napišme podmítku rovnováhy sil do radiálního směru při uvažování $\bar{\sigma}_y = \text{konst}$ na dané kružnici a při použití pravidla pro malé úhly $\sin \frac{dy}{2} = \frac{dy}{2}$

$$\begin{aligned} & (\bar{\sigma}_{yr} + \frac{\partial \bar{\sigma}_{yr}}{\partial y} dy - \bar{\sigma}_{yr}) r \cdot dr dy - \\ & - (\bar{\sigma}_r + \frac{\partial \bar{\sigma}_r}{\partial r} dr) (r dy dy + dr dy dy) + \\ & + \bar{\sigma}_r r dy dy + 2 \bar{\sigma}_y dr dy \frac{dy}{2} = 0. \end{aligned}$$

Po úpravě:

$$\begin{aligned} & \frac{\partial \bar{\sigma}_{yr}}{\partial y} r dy dr dy - \bar{\sigma}_r dr dy dy - \\ & - \frac{\partial \bar{\sigma}_r}{\partial r} dr \cdot r dy dy - \frac{\partial \bar{\sigma}_r}{\partial r} dr dy dy + \\ & + \bar{\sigma}_y dr dy dy = 0. \end{aligned}$$

Vydělme obě strany rovnice součinem $dr \cdot dy \cdot dy$

$$\frac{\partial \bar{\sigma}_{yr}}{\partial y} r - \bar{\sigma}_r - \frac{\partial \bar{\sigma}_r}{\partial r} r - \frac{\partial \bar{\sigma}_r}{\partial r} + \bar{\sigma}_y = 0.$$

Výsledná diferenciální rovnice rovnováhy do radiálního směru bude

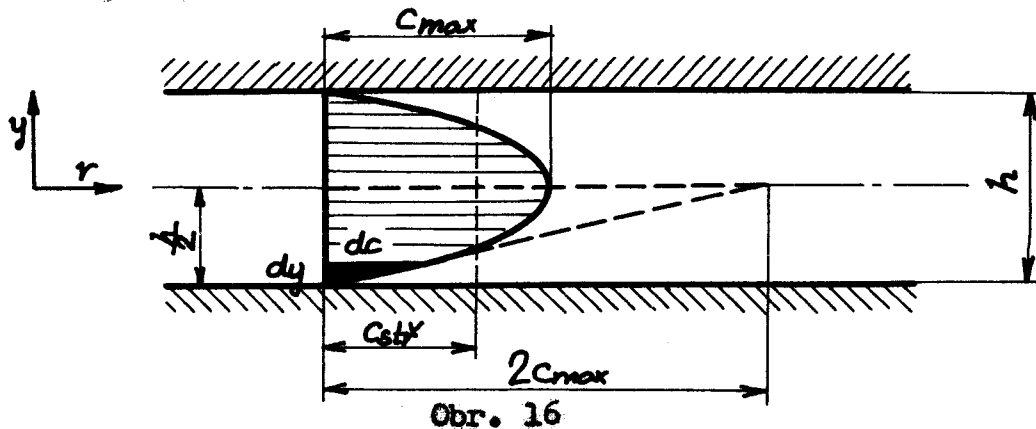
$$\bar{\sigma}_y - \bar{\sigma}_r - \frac{\partial \bar{\sigma}_r}{\partial r} (1+r) + \frac{\partial \bar{\sigma}_{yr}}{\partial y} \cdot r = 0. \quad (4.7)$$

4.2.6. Řešení diferenciálních rovnic rovnováhy

Uvedeným rozborom napjatosti jsme získali pouze dvě rovnice pro čtyři neznámé. Rozdělení napětí je tedy staticky neurčité a k výpočtu je třeba odvodit další dva vztahy. Jedním bude závislost tečného napětí $\bar{\sigma}_{yr}$ na velikosti proměnných y a r , druhým vzájemný vztah mezi $\bar{\sigma}_y$ a $\bar{\sigma}_r$.

4.2.6.1. Vyšetření tečného napětí

Zde využijeme předpokladu laminárního proudění s parabolickým rychlostním profilem po celé dráze toku taveniny.



Mocninový zákon je znám ve tvaru

$$\tau^n = \eta \frac{dc}{dy}. \text{ Odtud } \tau = \left(\eta \frac{dc}{dy} \right)^{\frac{1}{n}}.$$

Střední rychlosť proudění taveniny

$$\bar{c} = \frac{\int_{-\frac{h}{2}}^{\frac{h}{2}} c(y) dy}{h} \quad (4.8)$$

Plocha vlastního rychlostního profilu je dána plochou parabolické úseče $\frac{h}{2}$

$$\int_{-\frac{h}{2}}^{\frac{h}{2}} c(y) dy = \frac{2}{3} c_{max} \cdot h.$$

Pak je střední rychlosť pohybu taveniny v radiálním směru

$$\bar{c} = \frac{2}{3} c_{max}. \quad (4.9)$$

Odtud maximální rychlosť

$$c_{max} = \frac{3}{2} \bar{c}.$$

Střední průtočnou rychlosť \bar{c} lze vyjádřit pomocí vteřincového průtečného objemu V a příslušné průtočné plochy

$$\bar{c} = \frac{V}{2\pi h} \cdot \frac{1}{r}.$$

Zavedeme-li průtečnou vteřincovou hmotu $\bar{M} = V \cdot \rho$, pak střední rychlosť

$$\bar{c} = \frac{\bar{M}}{2\pi h \cdot \rho} \cdot \frac{1}{r} \quad (4.10)$$

a maximální rychlosť $C_{max} = \frac{3}{2} \bar{c} - \frac{3\bar{M}}{4\pi h p} \cdot \frac{1}{r}$ (4.11)

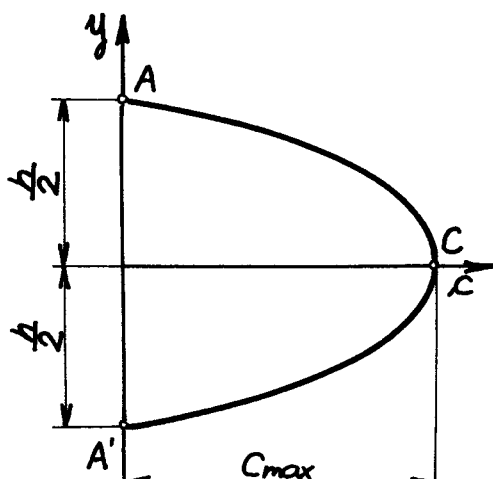
Analytický výpočet tečného napětí pomocí vytknutého elementu vede ke složitým vztahům. V odvezení se totiž pracuje s derivací $\frac{dc}{dy}$ ježíž tvar daný močinovým zákonem znemožňuje další řešení.

$$\tau = \eta \left(\frac{\partial c}{\partial y} \right)^{\frac{1}{m}} \text{ odtud } \frac{\partial \tau}{\partial y} = \eta^{\frac{1}{m}} \cdot \frac{1}{m} \left(\frac{\partial c}{\partial y} \right)^{\frac{1-m}{m}} \cdot \frac{\partial^2 c}{\partial y^2}. \quad (4.12)$$

Podrobný rozbor je v oddíle 5.2

Zvolme pro výpočet τ metodu, při které vezmeme za základ předpoklad parabolického rychlostního profilu.

Rovnice rychlostní paraboly v souřadnicích c, y podle obr. 17 bude



Obr. 17

$$y^2 = -2p(c - c_{max}),$$

$$y^2 = -2pc + 2pc_{max},$$

$$c = c_{max} - \frac{y^2}{2p}. \quad (4.13)$$

Dvojnásobnou velikost parametru paraboly $2p$ vypočteme z okrajových podmínek při dosazení za C_{max} .

Pro bod A zřejmě platí : $C=0, y=\frac{h}{2}$

$$\text{Tedy } \frac{h^2}{4} = c_{max} - \frac{h^2}{8p}.$$

Za c_{max} mohu dosadit ze (4.11)

$$\frac{3\bar{M}}{4\pi h p} \cdot \frac{1}{r} = \frac{h^2}{4 \cdot 2p}.$$

Odtud

$$2p = \frac{\pi h^2 p}{3\bar{M}} \cdot r$$

a rychlosť $c = c(y, r)$

$$c = \frac{3\bar{M}}{4\pi h p} \cdot \frac{1}{r} - y^2 \cdot \frac{3\bar{M}}{\pi h^3 p} \cdot \frac{1}{r} \quad (4.14)$$

Protože se rychlosť s rostoucím poloměrem zmenšuje, buďe $\frac{dc}{dy}$ záporné. Abychom dostali τ v absolutních hodnotách, zavádí se do močinového zákona záporné znaménko.

$$\text{Tedy } \bar{\tau}_{yr} = -\left(\eta \frac{\partial c}{\partial y}\right)^{\frac{1}{m}} = \left(\eta \cdot 2y \frac{3M}{\pi h^3 \cdot p} \cdot \frac{1}{r}\right) = \\ = \left(\frac{6\eta M}{\pi h^3 p}\right)^{\frac{1}{m}} \cdot y^{\frac{1}{m}} \cdot r^{-\frac{1}{m}},$$

$$\bar{\tau}_{yr} = C_1 \cdot y^{\frac{1}{m}} \cdot r^{-\frac{1}{m}} = C_1 \sqrt[m]{\frac{y}{r}}. \quad (4.15)$$

K výpočtu $\bar{\sigma}_r = \bar{\sigma}_r(r)$ je třeba znát hodnotu maximálního smykového napětí $\bar{\tau}_m$. Největší rychlostní spád je u stěny fórmy, Tedy $\bar{\tau}_m$ bude $\bar{\tau}_{yr}$ pro $y = \frac{h}{2}$

$$\bar{\tau}_m = C_1 \left(\frac{h}{2}\right)^{\frac{1}{m}} r^{-\frac{1}{m}} = \left(\frac{3\eta M}{\pi h^2 p}\right)^{\frac{1}{m}} \cdot r^{-\frac{1}{m}},$$

$$\bar{\tau}_m = C_2 \cdot r^{-\frac{1}{m}} \quad (4.16)$$

Pro kontrolu je možno $\bar{\tau}_m$ spočítat ještě tímto způsobem:
Je známo, že subtangenta parabely je vrcholem půlena,
tedy podle obrázku 16 je zřejmé

$$\left(\frac{\partial c}{\partial y}\right)_{max} = \frac{2C_{max}}{\frac{h}{2}};$$

dosadme za C_{max} ze (4.11) a vyjádřeme $\bar{\tau}_m$ z mocninového zákona

$$\bar{\tau}_m = \left(\frac{3\eta M}{\pi h^2 p}\right)^{\frac{1}{m}} \cdot r^{-\frac{1}{m}}, \quad \text{což souhlasí s výsledkem (4.16)}$$

4.2.6.2. Vyšetření vazby mezi $\bar{\tau}_y$ a $\bar{\sigma}_r$

Kvůli usnadnění dalšího výpočtu a vzhledem k tomu, že tloušťka výstřiku h je obvykle malá, zavedme místo závislosti $\bar{\sigma}_r = \bar{\sigma}_r(r, y)$ střední napětí $\bar{\sigma}_r$, které je pouze funkcí poloměru r : $\bar{\sigma}_r = \bar{\sigma}_r(r)$

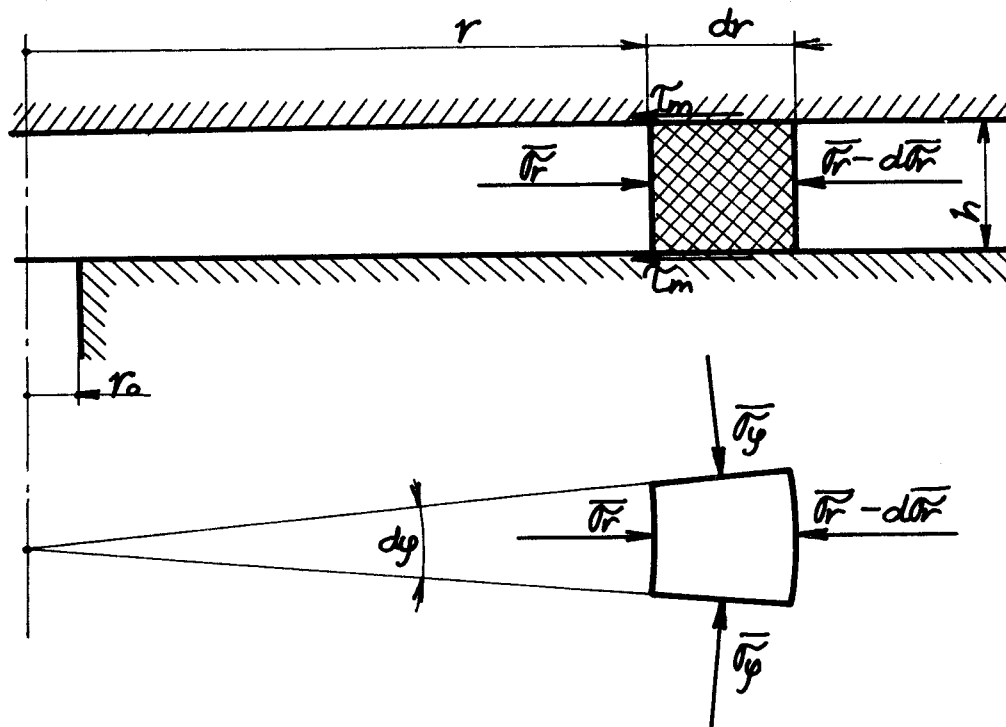
Pro daný poloměr r bude:

$$\bar{\sigma}_r = \frac{\int_0^{\frac{h}{2}} \bar{\sigma}_r dy}{\frac{h}{2}} = \frac{2}{h} \int_0^{\frac{h}{2}} \bar{\sigma}_r dy. \quad (4.17)$$

$$\text{Z podobných důvodů zavedme i } \bar{\tau}_y = \frac{2}{h} \int_0^{\frac{h}{2}} \bar{\tau}_y dy \quad (4.18)$$

Vytkněme nyní (podle obr. 18) na poloměru r element taveniny o výšce h a napišme podmínu rovnováhy působících sil v radiálním směru.

Uvažujme rdy přibližně rovno $(r+dr)dy$. Pak síla ed radiálního napětí musí být v rovnováze se silami způsobenými maximálním smykovým napětím $\bar{\tau}_m$ a napětím $\bar{\tau}_y$. Protože předpokládáme, že hodnota $\bar{\tau}_r$ klesá s rostoucím poloměrem, diferenciální přírůstek napětí $d\bar{\tau}_r$ na poloměru $r + dr$ bude mít záporné znaménko.



Obr. 18

Při použití pravidla pro malé úhly $\sin \frac{dy}{2} = \frac{dy}{2}$ bude rovnováha v radiálním směru dána rovnicí

$$-d\bar{\tau}_r h \cdot r dy - 2\bar{\tau}_m \cdot r dy dr + 2\bar{\tau}_y h \cdot dr \cdot \frac{dy}{2} = 0.$$

Vydělme obě strany rovnice součinem $h \cdot r \cdot dr \cdot dy$

$$-\frac{d\bar{\tau}_r}{dr} - \frac{2}{h}\bar{\tau}_m + \frac{2}{r}\bar{\tau}_y = 0. \quad (4.19)$$

Odtud je možno vyjádřit

$$\bar{\tau}_y = \frac{d\bar{\tau}_r}{dr} \frac{r}{2} + \frac{r}{h}\bar{\tau}_m \quad (4.20)$$

Protože počítáme se středním napětím $\bar{\tau}_r$, které je pouze funkcí poloměru, parciální derivace $\frac{d\bar{\tau}_r}{dr}$ se změní v normální derivaci $\frac{d\bar{\tau}_r}{dr}$. Protože $\bar{\tau}_r$ je pouze funkcí poloměru, musíme dále v diferenciální rovnici rovnováhy (4.7)

obecné tečné napětí $\bar{\tau}_y$, které je i funkcí y nahradit středním tečným napětím $\bar{\tau}_r$, které je pouze funkcí poloměru. Pak ovšem $\frac{d\bar{\tau}_y}{dy} = \theta$

a poslední člen v dif. rovnici rovnováhy (4.7) odpadá.

4.2.6.3. Řešení diferenciální rovnice rovnováhy pro $\bar{\tau}_r$ pomocí metody variace konstanty

Po dosazení všech uvedených předpokladů do rovnice (4.7) dostaneme

$$\bar{\tau}_y - \bar{\tau}_r - \frac{d\bar{\tau}_r}{dr}(1+r) = \theta. \quad (4.21)$$

Dosadme nyní za $\bar{\tau}_y$ ze (4.20)

$$\frac{d\bar{\tau}_r}{dr} \frac{r}{2} + \frac{r}{h} T_m - \bar{\tau}_r - \frac{d\bar{\tau}_r}{dr}(1+r) = \theta.$$

Po úpravě a vynásobení obou stran rovnice (-1) dostaneme nehomogenní lineární diferenciální rovnici pro $\bar{\tau}_r$

$$\frac{d\bar{\tau}_r}{dr} \left(\frac{r+2}{2} \right) + \bar{\tau}_r = \frac{r}{h} T_m. \quad (4.22)$$

Dosadme za $T_m = C_2 \cdot r^{-\frac{1}{n}}$ a dělme obě strany rovnice výrazem $\frac{r+2}{2}$

$$\frac{d\bar{\tau}_r}{dr} + \frac{2}{r+2} \bar{\tau}_r = \frac{2C_2}{h} \cdot \frac{r^{\frac{m-1}{n}}}{(r+2)}. \quad (4.23)$$

Řešení této diferenciální rovnice je možno prevést metodou variace konstanty.

Zkrácená rovnice

$$\frac{d\bar{\tau}_r}{dr} + \frac{2\bar{\tau}_r}{r+2} = \theta.$$

Separaci proměnných dostaneme

$$\frac{d\bar{\tau}_r}{\bar{\tau}_r} = -\frac{2 dr}{r+2}.$$

Při integrování pravé strany rovnice využijme skutečnosti, že v čitateli je derivace jmenovatele.

Zřejmě platí $\int \frac{f'(x)}{f(x)} dx = \ln |f(x)| + C$.

Tedy $-2 \int \frac{dr}{r+2} = -2 \ln |r+2| + C$.

Integrační konstantu můžeme napsat ve tvaru $\ln C$. Potom

$$\ln |\bar{\tau}_r| = -2 \ln |r+2| + \ln C,$$

$$\bar{\sigma}_r = C(r+2)^{-2}.$$

Nahradme nyní obecnou konstantu C pomocí $z = z(r)$
a dosadme za $\bar{\sigma}_r$ do rovnice (4.23)

$$\bar{\sigma}_r = z(r+2)^{-2}, \quad (4.24)$$

$$z'(r+2)^{-2} - 2z(r+2)^{-3} + 2z(r+2)^{-3} = \frac{2C_2}{h} \cdot \frac{r^{\frac{m-1}{m}}}{(r+2)}. \quad (4.24)$$

Odtud

$$z' = \frac{dz}{dr} = \frac{2C_2}{h} (r+2) \cdot r^{\frac{m-1}{m}} = C_5 \left(r^{\frac{2m-1}{m}} + 2r^{\frac{m-1}{m}} \right).$$

Po integraci

$$z = C_5 \left(\frac{m}{3m-1} r^{\frac{3m-1}{m}} + \frac{2m}{2m-1} r^{\frac{2m-1}{m}} \right) + C_4. \quad (4.25)$$

Tedy podle (4.24) bude

$$\bar{\sigma}_r = \frac{C_5 \left(\frac{m}{3m-1} r^{\frac{3m-1}{m}} + \frac{2m}{2m-1} r^{\frac{2m-1}{m}} \right) + C_4}{(r+2)^2}, \quad (4.26)$$

$$\text{kde } C_5 = \frac{2C_2}{h} - \frac{2}{h} \left(\frac{3n \cdot M}{\pi h^2 p} \right)^{\frac{1}{m}}. \quad (4.27)$$

Integrační konstantu C_4 lze vyjádřit z této okrajové podmínky: pro $r = r_0$ je $\bar{\sigma}_r = p_0$ / kde p_0 je vstřikovací tlak v místě vtoku /

Pak

$$C_4 = p_0 (r_0+2)^2 - C_5 \left(\frac{m}{3m-1} r_0^{\frac{3m-1}{m}} + \frac{2m}{2m-1} r_0^{\frac{2m-1}{m}} \right). \quad (4.28)$$

Při použití bodových vteků / kde $r_0 < 1 \text{ mm}$ / lze velikosti poloměru vteku zanedbat.

Pak

$$C_4 \approx 4p_0. \quad (4.29)$$

4.2.6.4. Výpočet normálního napětí $\bar{\sigma}_y$

Normálné napětí $\bar{\sigma}_y$ lze vypočítat z upravené diferenciální rovnice rovnováhy (4.21).

$$\bar{\sigma}_y = \bar{\sigma}_r + \frac{d\bar{\sigma}_r}{dr} (1+r) \quad (4.30)$$

Podle (4.26) lze psát

$$\bar{\sigma}_r = \frac{C_5 \left(\frac{m}{3m-1} r^{\frac{3m-1}{m}} + \frac{2m}{2m-1} r^{\frac{2m-1}{m}} \right) + C_4}{r^2 + 4r + 4}.$$

Pak $\frac{d\bar{\sigma}_r}{dr} =$

$$= C_5 \left(\frac{2m-1}{r^m} + r^{\frac{m-1}{m}} \right) (r+2)^2 - \left(C_5 \frac{m}{3m-1} r^{\frac{3m-1}{m}} + C_5 \frac{2m}{2m-1} r^{\frac{3m-1}{m}} + C_4 \right) (2r+4),$$

$$\frac{d\bar{\sigma}_r}{dr} (1+r) = \frac{C_5 \left(\frac{2m-1}{r^m} + r^{\frac{m-1}{m}} \right) (r+1)}{(r+2)^2} - \frac{\bar{\sigma}_r (r+2)^2 (2r+4)(r+1)}{(r+2)^4} =$$

$$= C_5 r^{\frac{m-1}{m}} \left(\frac{r+1}{r+2} \right)^2 - \bar{\sigma}_r \cdot \frac{2r^2 + 6r + 4}{(r+2)^2}.$$

Tedy při známých hodnotách $\bar{\sigma}_r$ bude

$$\bar{\sigma}_y = \bar{\sigma}_r \left(1 - \frac{2r^2 + 6r + 4}{(r+2)^2} \right) + C_5 r^{\frac{m-1}{m}} \left(\frac{r+1}{r+2} \right)^2, \quad (4.31)$$

kde $C_5 = \frac{2C_2}{h} = \frac{2}{h} \left(\frac{3\eta M}{\pi h^2 g_0} \right)^{\frac{1}{m}}$. (4.32)

4.2.6.5. Výpočet normálného napětí $\bar{\sigma}_y$

Normálné napětí $\bar{\sigma}_y$ je možno vypočítat z diferenciální rovnice rovnováhy (4.5) po dosazení za $\bar{\sigma}_y$ a $\frac{\partial \bar{\sigma}_y}{\partial r}$

$$\frac{\partial \bar{\sigma}_y}{\partial y} = -\frac{\bar{\sigma}_y}{r} + \frac{\partial \bar{\sigma}_y}{\partial r} \cdot \frac{1+r}{r}, \quad (4.33)$$

$$\frac{\partial \bar{\sigma}_y}{\partial y} = -C_1 y^{\frac{1}{m}} r^{-\frac{m+1}{m}} - C_1 y^{\frac{1}{m}} r^{-\frac{m+1}{m}} \cdot \frac{(1+r)}{m \cdot r},$$

$$\frac{\partial \bar{\sigma}_y}{\partial y} = -C_1 y^{\frac{1}{m}} r^{-\frac{m+1}{m}} \left(1 + \frac{1+r}{m \cdot r} \right).$$

Po integraci dostaneme

$$\bar{\sigma}_y = -\frac{m \cdot C_1}{m+1} y^{\frac{m+1}{m} - \frac{m+1}{m}} \left(1 + \frac{1+r}{m \cdot r} \right) + C_6. \quad (4.34)$$

Pro určení konstanty C_6 provedme následující obecnou úvahu. Z podmínky $\bar{\sigma}_y = 0$ získáme rovnici roviny a přímky, podél kterých se tavenina plastické hmoty chová jako ideální, s rovnoramenným tlakem pro všechny směry, neboť zde chybějí tečná napětí. Ze vztahu pro tečné napětí

$$(\bar{\sigma}_y = C_1 y^{\frac{1}{m}} r^{-\frac{1}{m}} = 0)$$

vyplynou rovnice roviny $\bar{\sigma} : z = 0$ a rovnice osy $y: r = 0$

Pak pro všechny body roviny σ o souřadnicích (y, r, θ)
platí při napjatosti souměrné podle osy y

$$\sigma_r(r, y=\bar{r}) = \sigma_y(r, y=\bar{r}) = \sigma_\theta(r, y=\bar{r}) \quad (4.35)$$

a pro všechny body osy y o souřadnicích (y, θ, r) platí

$$\sigma_r(r=\bar{r}, y) = \sigma_y(r=\bar{r}, y) = \sigma_\theta(r=\bar{r}, y). \quad (4.36)$$

Pro náš případ použijeme vztahu (4.36)

Pak z rovnice (4.26) dostaneme při zanedbání velikosti
poloměru vtoku

$$\bar{\sigma}_r(r=\bar{r}) = \frac{C_4}{4} \doteq p_0. \quad (4.37)$$

Stejný výsledek obdržíme i z rovnice (4.31) pro σ_y

$$\bar{\sigma}_y(r=\bar{r}) = \bar{\sigma}_r(r=\bar{r}) = \frac{C_4}{4} \doteq p_0. \quad (4.38)$$

Podle (4.36)

$$\bar{\sigma}_y(r=\bar{r}) = C_6 = \frac{C_4}{4} \doteq p_0. \quad (4.39)$$

a normálné napětí ve směru osy y při zanedbání velikosti
poloměru vtoku

$$\bar{\sigma}_y = p_0 - \frac{m C_1}{m+1} y^{\frac{m+1}{m}} r^{-\frac{m+1}{m}} \left(1 + \frac{1+r}{m \cdot r}\right). \quad (4.40)$$

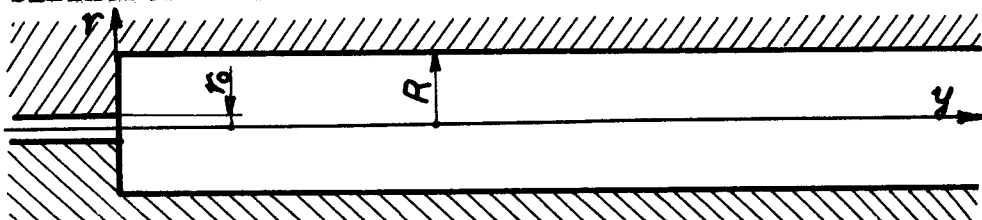
Jestliže velikost poloměru vtoku nezanedbáme, pak do-
sadíme do vztahu (4.39) za C_4 ze (4.28).

4.3. Řešení napjatosti v tavenině plastické hmoty při vstřikování tyčinky kruhového průřezu

4.3.1. Předpoklady řešení

1. Proudění je isotermické, stacionární a laminární.
2. Vstřikovaná tavenina polymeru je homogenní,
nepružná a nestlačitelná tekutina.
3. Setrvačné a gravitační síly zanedbáme
4. Při výpočtu smykového napětí uvažujeme po celé
délce tečení plně vyvinutý parabolický rychlostní
profil.
5. Napjatost je souměrná podle osy vtoku y.
6. Zanedbáme zakřivení fronty tečení, které vznikne
jako důsledek vlnové podstaty proudění.

7. Nebudeme se blíže zabývat oblastí v bezprostřední blízkosti vtoku.



Obr.19

7.3.2. Rozbor napjatosti v obecném místě tekpucí taveniny

Případ vstřikování tyčinky kruhového průřezu je možno řešit analogicky s předešlým případem. Proto byl zachován i původní souřadný systém a označení jednotlivých napětí. Platí tedy i zde dříve odvozené vztahy pro sdružená tečná napětí.

$$\begin{aligned} \tau_{ry} - \tau_{yr} &= \eta^{\frac{1}{m}} \left(\frac{\partial c_r}{\partial y} + \frac{\partial c_y}{\partial r} \right)^{\frac{1}{m}}, \\ \tau_{ry} - \tau_{yr} &= \eta^{\frac{1}{m}} \left(\frac{\partial c_r}{r \partial y} + \frac{\partial c_y}{\partial r} \right)^{\frac{1}{m}}, \\ \tau_{yy} - \tau_{yy} &= \eta^{\frac{1}{m}} \left(\frac{\partial c_y}{r \partial y} + \frac{\partial c_r}{\partial y} \right)^{\frac{1}{m}}. \end{aligned} \quad \left. \right\} (4.41)$$

Stejné budou i velikosti elementárních plošek podle obr.14.

$$dS_1 = r dy dy,$$

$$dS_2 = r dy dy + dr dy dy,$$

$$dS_3 = r dr dy,$$

$$dS_4 = dr dy.$$

4.3.3. Odvození diferenciálních rovnic rovnováhy

Protože proudění předpokládáme stacionární, teky časově neproměnné, a průřez kruhové tyčinky je po celé její délce stejný platí pro střední rychlosť při daném průřezu.

$$S = \pi R^2 \quad (4.42)$$

$$\text{že } \bar{C} = \frac{\int_0^R C_y dr}{2R} = \frac{V}{\pi R^2} = \frac{M}{\pi R^2 \rho} . \quad (4.43)$$

$$\text{Rychlosti } C_y = C_r = \theta.$$

Potom tečná napětí podle (4.41) budou

$$\bar{\tau}_{ry} = \bar{\tau}_{ry} = \eta^{\frac{1}{m}} \left(\frac{dc}{dy} \right)^{\frac{1}{m}}, \quad \} (4.45)$$

$$\bar{\tau}_{yy} = \bar{\tau}_{ry} = \bar{\tau}_{yy} = \bar{\tau}_{yy} = \theta.$$

což je opět výsledek shodný s předchozím případem. Proto dříve odvozené diferenciální rovnice rovnováhy budou platit i pro tento případ. Bude tedy:
diferenciální rovnice rovnováhy do směru osy y

$$\bar{\tau}_{ry} + \frac{\partial \bar{\tau}_{ry}}{\partial r} (1+r) + \frac{\partial \bar{\tau}_{yy}}{\partial y} \cdot r = \theta. \quad (4.46)$$

a diferenciální rovnice rovnováhy do radiálního směru

$$\bar{\tau}_{yy} - \bar{\tau}_r - \frac{\partial \bar{\tau}_r}{\partial r} (1+r) + \frac{\partial \bar{\tau}_{ry}}{\partial y} \cdot r = \theta. \quad (4.47)$$

4.3.4 Rešení diferenciálních rovnic rovnováhy

Protože máme pouze dvě rovnice pro čtyři neznámé, musíme najít další dva vztahy, podobně jako v případě plochého kruhového kotouče.

Nejprve odvodme závislost $\bar{\tau}_{ry}$ analogicky s předešlým případem.

4.3.4.1. Výpočet tečného napětí $\bar{\tau}_{ry}$

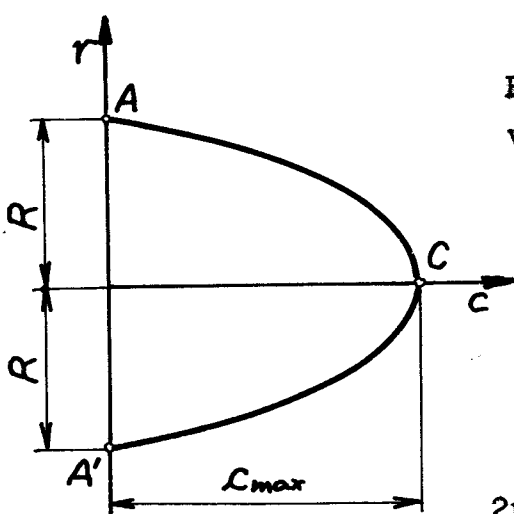
Podle (4.9) a obr. 16 je střední rychlosť prouďení taveniny

$$\bar{C} = \frac{2}{3} C_{max} \quad (4.48)$$

Dosadme za \bar{C} ze (4.43) a vyjádřeme maximální rychlosť

$$C_{max} = \frac{3}{2} \bar{C} = \frac{3M}{2\pi R^2 \rho} \quad (4.49)$$

Ze stejného důvodu, jako v předešlém případě / totiž složitosti derivace $\frac{\partial \bar{\tau}_{ry}}{\partial r}$ / použijeme i zde metodu, při níž rovnici rychlostní paraboly spočteme pomocí dvou bodů, jimiž prochází.



Obr.20

Rovnice paraboly (podle obr.20)
v souřadnicích c,r je obecně

$$r^2 = -2p(c - c_{max}),$$

$$r^2 = -2pc + 2pc_{max},$$

$$c = c_{max} - \frac{r^2}{2p}. \quad (4.50)$$

$2p$ zjistíme z okrajové podmínky,
při dosazení za c_{max} . Pro bod A
platí: $C = 0, r = R$

$$\theta = c_{max} - \frac{R^2}{2p}.$$

$$\frac{3M}{2\pi R^2 \cdot p} = \frac{R^2}{2p};$$

$$\text{odtud } 2p = \frac{2\pi R^4 \cdot p}{3M}$$

a rychlosť c ve směru osy y

$$c = \frac{3M}{2\pi R^2 \cdot p} - r^2 \cdot \frac{3M}{2\pi R^4 \cdot p}. \quad (4.51)$$

Protože se rychlosť s rosteucím poloměrem zmenšuje, bude $\frac{\partial c}{\partial r}$ záporné. Abychom dostali \tilde{c}_{yr} v absolutních hodnotách, zavedeme i zde do mocninového zákona záporné zneménko.

Pak

$$\tilde{c}_{yr} = -\left(\eta \frac{dc}{dr}\right)^{\frac{1}{m}} = \left(\frac{3M\eta}{\pi R^4 \cdot p}\right)^{\frac{1}{m}} \cdot r^{\frac{1}{m}},$$

$$\tilde{c}_{yr} = C_7 \cdot r^{\frac{1}{m}}. \quad (4.52)$$

Maximální tečné napětí při stěně formy ($r = R$)

$$T_m = C_7 \cdot R^{\frac{1}{m}} = \left(\frac{3M\eta}{\pi R^3 \cdot p}\right)^{\frac{1}{m}}. \quad (4.53)$$

4.3.4.2. Výpočet normálného napětí $\tilde{\sigma}_y$

Normálné napětí $\tilde{\sigma}_y$ je možno vypočítat z diferenciální rovnice rovnováhy (4.46) po dosazení za \tilde{c}_{yr} a $\frac{d\tilde{c}_{yr}}{dr}$

$$\frac{\partial \tilde{\sigma}_y}{\partial y} = -\frac{\tilde{\tau}_{ry}}{r} - \frac{d \tilde{\tau}_{ry}}{dr} \frac{1+r}{r}, \quad (4.54)$$

$$\frac{\partial \tilde{\sigma}_y}{\partial y} = -C_7 r^{\frac{1-m}{m}} - \frac{C_7}{m} r^{\frac{1-m}{m}} \frac{1+r}{r}.$$

Po integraci

$$\tilde{\sigma}_y = -y C_7 r^{\frac{1-m}{m}} \left(1 + \frac{1+r}{m r} \right) + C_8. \quad (4.55)$$

Integrační konstantu C_8 určíme z okrajové podmínky:
pro $y = 0$ a $r = 0$ je $\tilde{\sigma}_y = p_0$, kde p_0 je vstříkovací tlak v ústí vtoku.

Tedy $C_8 = p_0$.

$$\text{a } \tilde{\sigma}_y = p_0 - y C_7 r^{\frac{1-m}{m}} \left(1 + \frac{1+r}{m r} \right), \quad (4.56)$$

$$\text{kde } C_7 = \frac{(3Mn)^{\frac{1}{m}}}{\pi R^4 p_0} \quad (4.57)$$

Z rovnice (4.56) je zřejmé, že pro dané r klesá $\tilde{\sigma}_y$ podle rovnice přímky.

4.3.4.3. Určení normálních napětí $\tilde{\sigma}_y$ a $\tilde{\sigma}_r$

Dif. rovnice rovnováhy do radiálního směru představuje vazbu mezi těmito normálními napětími. V obecném případě, když $\tilde{\tau}_{yr} = \tilde{\tau}_{yr}(r, y)$

$$\tilde{\sigma}_y - \tilde{\sigma}_r - \frac{\partial \tilde{\sigma}_r}{\partial r} (1+r) + \frac{\partial \tilde{\tau}_{yr}}{\partial y} \cdot r = \tilde{\sigma}. \quad (4.58)$$

Přijmeme-li často zavedený předpoklad (5), (3), že

$$\tilde{\sigma}_r = \tilde{\sigma}_y \quad (4.59)$$

pak $\frac{\partial \tilde{\sigma}_r}{\partial r} (1+r) = \frac{\partial \tilde{\tau}_{yr}}{\partial y} \cdot r$

a $\tilde{\sigma} = \tilde{\sigma}_y = \int \frac{\partial \tilde{\tau}_{yr}}{\partial y} \cdot \frac{r}{1+r} dr + f(y). \quad (4.60)$

Funkci $f(y)$ lze určit z následující úvahy:

Z podmínky $\tilde{\tau}_{yr} = \tilde{\sigma}$ vyplýne rovnice osy $y : r = 0$, podél které se tavenina chová jako ideální, tedy s rovnoměrným tlakem pro všechny směry, neboť zde chybějí tečné napětí. Pak pro všechny body této čáry s souřadnicích $(y, r=0)$ platí

$$\tilde{\sigma}_r(r=0) = \tilde{\sigma}_y(r=0) = \tilde{\sigma}_y(r=0). \quad (4.61)$$

Tato úvaha platí zcela obecně pro dutiny formy ve tvaru libovolného rotačního tělesa, kde $\tilde{\tau}_{yr} = \tilde{\tau}_{yr}(r, y)$.

V našem případě uvažujeme tyčinku s neproměnným

průřezem, tedy při stacionárním proudění také s nepreměnným rychlostním profilem. Zde $\tilde{\tau}_y$ je pouze funkcí poloměru r a nezávisí na y .

$$\tilde{\tau}_y = \tilde{\tau}_y(r), \quad \frac{\partial \tilde{\tau}_y}{\partial y} = 0. \quad (4.62)$$

Pak při zavedení předpokladu (4.59) s přihlédnutím ke (4.62) zredukuje se diferenciální rovnice rovnováhy do radiálního směru na

$$\frac{\partial \tilde{\sigma}_r}{\partial r} = 0. \quad (4.63)$$

Po integraci $\tilde{\sigma}_r = \tilde{\sigma}_y = K.$ (4.64)

Konstanta K z rovnice (4.64) odpovídá funkci $f(y)$ v obecném vztahu (4.60).

Spočteme ji z podmínky (4.61). Podle (4.56) je

$$\tilde{\sigma}_y(r = R) = p_0 = K.$$

Tedy při vstřikování tyčinky kruhového průřezu za uvedených předpokladů budou normálná napětí

$$\tilde{\sigma}_r = \tilde{\sigma}_y = p_0. \quad (4.65)$$

4.4. Řešení napjatosti v tavenině plastické hmoty při vstřikování ploché tyče obdélníkového průřezu

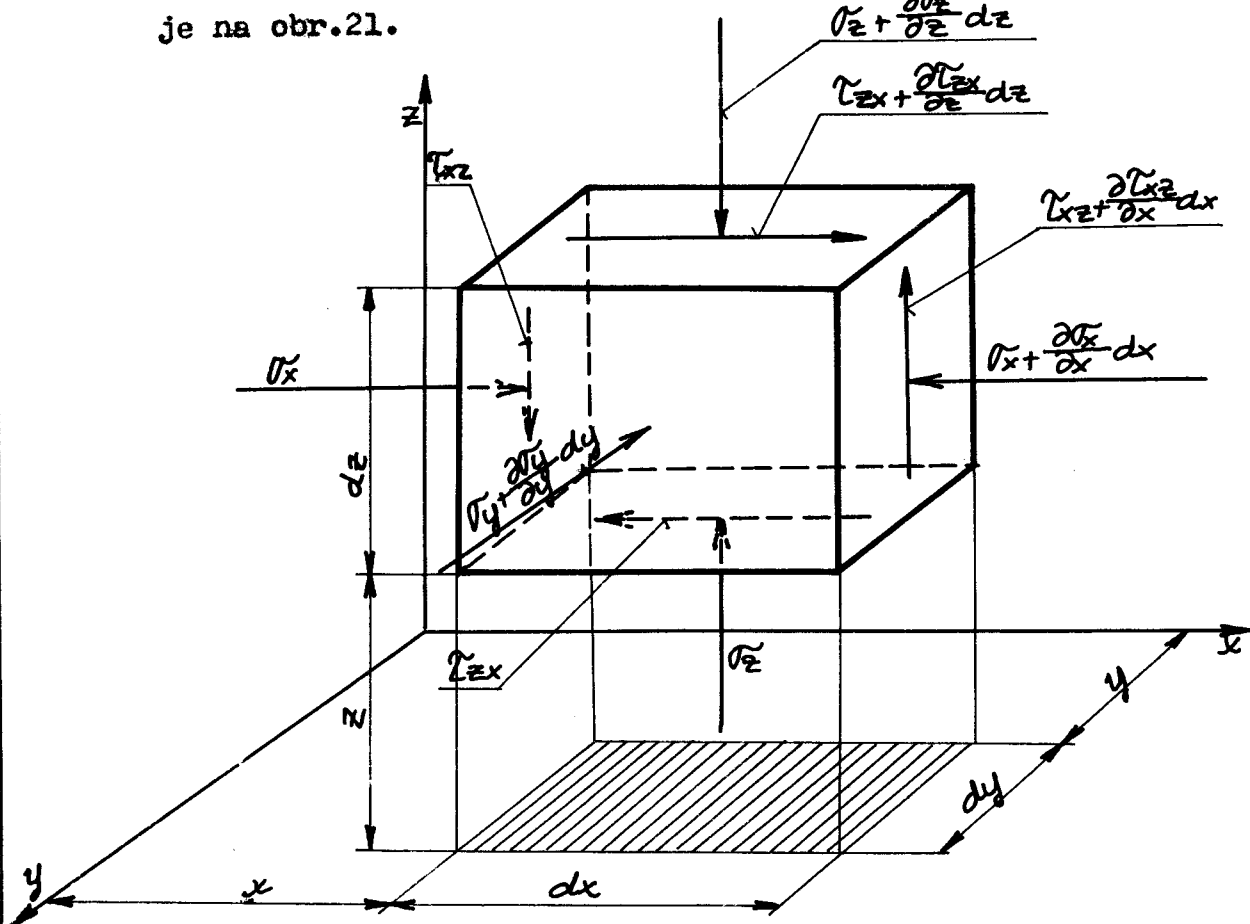
4.4.1. Předpoklady pro řešení

1. Proudění je izotermické, stacionární a laminární.
2. Vstřikovaná tavenina plastické hmoty je homogenní, nepružná a nestlačitelná tekutina.
3. Setrvačné a gravitační síly zanedbáme
4. Při výpočtu smykového napětí uvažujeme po celé délce tečemi plně vyvinutý parabolický rychlostní profil.
5. Šířka výstřiku je podstatně větší, než jeho tloušťka.

Rozeberme případ paralelního proudu mezi dvěma nekonečně velikými rovnoběžnými rovinami. Odpovídá to skutečnému případu, kdy je dutina formy ve tvaru ploché tyče plněna pomocí podélného zářazu.

4.4.2 Rezbor napjatosti v obecném místě tekoucí taveniny

Vytknutý element taveniny s naznačenými průběhy napětí je na obr.21.



Obr.21

Předpokládáme stacionární proudění, tedy $\frac{\partial c}{\partial t} = 0$

I v tomto případě platí obecné vztahy odvozené pro sdužená tečná napětí.

Rychlosti $c_y = c_z = \theta$, $c_x = c(z)$.

Tečná napětí

$$\tau_{zx} = \tau_{xz} = \eta^{\frac{1}{m}} \left(\frac{\partial c}{\partial z} \right)^{\frac{1}{m}} = \eta^{\frac{1}{m}} \left(\frac{dc}{dz} \right)^{\frac{1}{m}}, \quad (4.66)$$

$$\tau_{xy} = \tau_{yx} = \tau_{yz} = \tau_{zy} = \theta.$$

4.4.3. Odvození diferenciálních rovnic rovnováhy

S použitím (4.66) napišme podmínky rovnováhy sil

do směrů souřadných os

Rovnováha působících sil do směru osy x

$$\frac{\partial \tilde{\sigma}_x}{\partial x} \cdot dx dy dz - \frac{\partial \tilde{\sigma}_{ex}}{\partial z} dz dx dy = g.$$

Vydělíme-li obě strany rovnice součinem $dx \cdot dy \cdot dz$, dostaneme diferenciální rovnici rovnováhy ve směru pohybu taveniny:

$$\frac{\partial \tilde{\sigma}_x}{\partial x} = \frac{\partial \tilde{\sigma}_{ex}}{\partial z}.$$

(4.67)

Z rovnováhy sil do směru osy y vyplýne

$$\frac{\partial \tilde{\sigma}_y}{\partial y} = g.$$

(4.68)

Diferenciální rovnice rovnováhy ve směru osy z

$$\frac{\partial \tilde{\sigma}_z}{\partial z} = \frac{\partial \tilde{\sigma}_{ez}}{\partial x}.$$

(4.69)

4.4.4. Odvození tečného napětí $\tilde{\sigma}_{ex}$

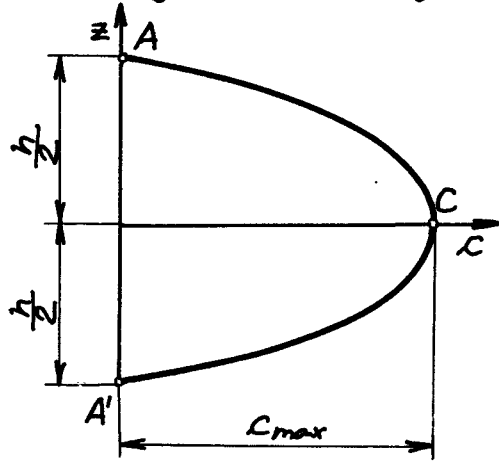
Analogicky s předešlými případy je možno vyjádřit střední rychlosť pohybu taveniny

$$\bar{C} = \frac{2}{3} C_{max} - \frac{2}{h} \int_0^h c \cdot dr = \frac{V}{b \cdot h} = \frac{M}{b \cdot h \cdot \rho} \quad (4.70)$$

a maximální rychlosť pohybu taveniny

$$C_{max} = \frac{3}{2} \bar{C} = \frac{3M}{2bh\rho}. \quad (4.71)$$

kde b je šířka dutiny formy a h její výška.



Obr. 22

Rovnice rychlostní paraboly podle obr. 22 v souřadnicích c, z je obecně

$$z^2 = -2p(c - c_{max}),$$

$$z^2 = -2pc + 2pc_{max},$$

$$c = c_{max} - \frac{z^2}{2p}. \quad (4.72)$$

Hodnotu $2p$ zjistíme z okrajové podmínky při dosazení za C_{max}

Pro bod A platí : $C = 0, z = \frac{h}{2}$

$$\tau = C_{\max} - \frac{h^2}{4 \cdot 2p} .$$

Dosadme nyní za C_{\max} ze (4.71)

$$\frac{3 \bar{M}}{2bh\rho} = \frac{h^2}{4 \cdot 2p} .$$

Odtud

$$2p = \frac{2bh^3\rho}{12 \bar{M}} = \frac{bh^3\rho}{6 \bar{M}} .$$

a rychlosť c ve směru osy x

$$c = \frac{3 \bar{M}}{2bh\rho} - z^2 \frac{6 \bar{M}}{bh^3\rho} . \quad (4.73)$$

Tečné napětí

$$\tau_{zx} = \left(\eta \frac{dc}{dz} \right)^{\frac{1}{m}} = - \left(\frac{12 \bar{M} \eta}{bh^3 \rho} \right)^{\frac{1}{m}} \cdot z^{\frac{1}{m}},$$

$$\tau_{zx} = - C_g \cdot z^{\frac{1}{m}}. \quad (4.74)$$

Maximální smykové napětí

$$\tau_m = - C_g \left(\frac{h}{2} \right)^{\frac{1}{m}} = - \left(\frac{6 \bar{M} \eta}{bh^3 \rho} \right)^{\frac{1}{m}}. \quad (4.75)$$

4.4.5 Odvození vztahu pro normálné napětí τ_x

Řešme diferenciální rovnici rovnováhy (4.67) za použití (4.73) :

$$\frac{\partial \tau_x}{\partial x} = - \frac{C_g}{m} \cdot z^{\frac{1-m}{m}}; \quad (4.76)$$

po integraci

$$\tau_x = - \frac{C_g}{m} \cdot z^{\frac{1-m}{m}} x + C. \quad (4.77)$$

Integrační konstantu C určíme z okrajové podmínky:

pro $z = 0$ a $x = 0$ je $\tau_x = p_0$, kde p_0 je vstřikovací tlak v místě vtoku.

Pak $C = p_0$

a normálné napětí ve směru osy x

$$\tau_x = p_0 - \frac{C_g}{m} \cdot z^{\frac{1-m}{m}} \cdot x. \quad (4.78)$$

Ze vztahu (4.78) je zřejmé, že pro dané z klesá σ_x s odlehlostí x podle rovnice přímky.

4.4.6. Odvození normálních napětí σ_y a σ_z

Výpočet dalších dvou normálních napětí σ_y a σ_z provedeme za předpokladu, že

$$\sigma_y = \sigma_z \quad (4.79)$$

Z podmínky $\sigma_{yr}=0$ vypočteme rovnici roviny Γ : $z = 0$, podél které se tavenina chová jako ideální tekutina, tedy s rovnoměrným tlakem pro všechny směry, neboť zde chybějí tečná napětí. Pro všechny body roviny Γ o souřadnicích / x , y , $z = 0$ / platí:

$$\sigma_x(z=0) = \sigma_y(z=0) = \sigma_z(z=0) \quad (4.80)$$

a podle (4.77)

$$\sigma_x(z=0) = p_0 \quad (4.81)$$

Z diferenciální rovnice rovnováhy (4.68) vyplývá, že napětí σ_y není funkcií proměnné y . Z diferenciální rovnice rovnováhy (4.69) zase vyplývá, že napětí σ_z není funkcií proměnné z . Za předpokladu (4.79) tedy platí, že σ_y a σ_z jsou po celém průřezu formy konstantní, tedy tu hodnotu, kterou mají při $z=0$, mají i ve všech ostatních místech. Pak tedy podle (4.80) a (4.81) lze psát:

$$\sigma_y = \sigma_z = p_0 \quad (4.82)$$

4.5. Seznam konstant použitých při výpočtu

$$C_1 = \left(\frac{6 \eta \bar{M}}{\pi h^3 p} \right)^{\frac{1}{m}}$$

$$C_2 = C_1 \left(\frac{h}{2} \right)^{\frac{1}{m}} = \left(\frac{3 \eta \bar{M}}{\pi h^2 p} \right)^{\frac{1}{m}}$$

$$C_3 = C_1 \frac{2m}{(m+1)h} \left(\frac{h}{2} \right)^{\frac{m+1}{m}}$$

$$C_4 = p_0 (r_0 + 2)^2 - C_5 \left(\frac{m}{3m-1} r_0^{\frac{m-1}{m}} + \frac{2m}{m-1} r_0^{\frac{2m-1}{m}} \right) \doteq 4p_0$$

$$C_5 = \frac{2C_2}{h}$$

$$C_6 = \frac{C_4}{4} \doteq p_0$$

$$C_7 = \left(\frac{3 \eta \bar{M}}{\pi R^4 p} \right)^{\frac{1}{m}}$$

$$C_8 = p_0$$

$$C_9 = \left(\frac{12 \eta \bar{M}}{b h^3 p} \right)^{\frac{1}{m}}$$

**5. OBECNÝ POSTUP ŘEŠENÍ NAPJATOSTI V TAVENINĚ PLASTICKÉ
HMOTY PŘI VSTŘIKOVÁNÍ TERMOPLASTU**

**5.1. Zjednodušená metoda s použitím parabolického
rychlostního profilu**

Rozepišme si metodu použitou v této práci na jednotlivé body.

1. Ujasníme si, o jaký případ jde z hlediska geometrického tvaru formy. Složené tvary rozdělíme na jednoduché úseky, které pak řešíme samostatně s tím, že řešení následujícího úseku vždy vychází z výsledků předešlého.
2. Stanovíme všechny zjednodušující předpoklady pro řešení, které se týkají hlavně:
 - a) charakteru proudění v dutině formy
 - b) vlastnosti vstříkované taveniny polymeru
 - c) zanedbání objemových sil
 - d) zavedení parabolického rychlostního profilu
 - e) rozboru souměrnosti případu
 - f) zanedbání složitých dějů v místech náhlé změny průřezu
 - g) rezboru případu z hlediska vlnové modelové představy
3. Vhodně zvolíme souřadný systém a na vytknutém elementu taveniny znázorníme všechna napětí normálná i tečná pro obecný případ volného proudu.
4. Kinematickým rozbořením případu získáme složky rychlostí ve směrech souřadných os, pomocí nichž pak vypočteme normálná napětí za použití zákona pro sdružená tečná napětí.
5. Napíšeme podmínky rovnováhy působících sil do směru souřadných os a vhodnými úpravami z nich získáme diferenciální rovnice rovnováhy.
6. Samostatně vyřešíme průběh tečných napětí při použití předpokladu parabolického rychlostního profilu. Při tom je postup následující:
 - a) pomocí rovnice kontinuity a vzorce pro výpočet plochy parabolického úseče stanovíme maximální rychlosť C_{max} .

b) dvěma body : A ($c = 0, y = y_{\max}$)
 $C (C_{\max}, y = 0)$

proložíme obecnou rovnici paraboly

c) derivaci vztahu pro rychlosť z b) použijeme v mocničnovém zákoně k výpočtu tečného napětí

7. Vztah pro tečné napětí dosadíme do diferenciálních rovnic rovnováhy.

8. Provedeme řešení diferenciálních rovnic rovnováhy
K tomu je možno použít

a) podmínky rovnosti dvou normálních napětí ve směrach kolmých k hlavnímu pohybu

b) podmínky rovnosti všech normálních napětí podél ploch nebo křivek získaných z podmínky $\tilde{\epsilon} = \theta$

c) podmínky rovnováhy pro nějaký speciální element taveniny (například u kruhového kotouče jsme stanovili podmínu rovnováhy pro element o výšce h rovné tloušťce stěny)

9. V případě potřeby provedeme vyčíslení vztahů a jejich grafické zobrazení. Protože se zde nejdá o sproximační metodu, je možno pro získání křivky vypočítat samostatně hodnotu několika bodů a jimi pak proložit graf.

5.2. Metoda vycházející z derivace mocninového zákona

Je to vlastně jediná správná exaktní metoda ke zjištování napěťových závislostí. V této práci nebyla použita proto, že výpočet podle ní by byl příliš obtížný pro exponenciální tvar mocninového zákona.

Pro případ, že by někdo pokračoval v práci na tomto problému, provedu zde rozbor uvedené metody na příkladu ploché tyče s proměnnou tloušťkou.

Dosadme do diferenciální rovnice rovnováhy (4.67) za $\tilde{\epsilon}_x$ z mocninového zákona:

$$\frac{\partial \tilde{\epsilon}_x}{\partial x} - \frac{1}{m} \left(\frac{\partial c}{\partial z} \right)^{\frac{1-m}{m}} \cdot \frac{\partial^2 c}{\partial z^2}. \quad (5.1)$$

předpokládejme, že řešením této rovnice byla získána závislost $c = c(x, z, \frac{\partial \tilde{\epsilon}_x}{\partial x})$. K určení $\frac{\partial \tilde{\epsilon}_x}{\partial x}$ použijeme ještě podmínky kontinuity.

Vteřinová průtočná hmota

$$M = \bar{c} \cdot b h(x) p = b \cdot p \int_0^{h(x)} c(x, y, \frac{\partial \tilde{\sigma}_x}{\partial x}) dz; \quad (5.2)$$

odkud lze vyjádřit derivaci $\frac{\partial \tilde{\sigma}_x}{\partial x}$, z níž separací proměnných a integrací dostaneme: $\tilde{\sigma}_x = \tilde{\sigma}_x(x, z)$. (5.3)

Integrační konstantu je možno zjistit z okrajové podmínky $\tilde{\sigma}_x(x = \bar{D}, z = \bar{D}) = p_{\infty}$.

Dosadíme-li nyní za $\frac{\partial \tilde{\sigma}_x}{\partial x}$ do vztahu pro rychlosť, získáme závislost $c = c(x, z)$, (5.4)
pomocí níž vypočteme průběh tečných napětí

$$\tilde{\tau}_{zx} = \eta^{\frac{1}{m}} \left(\frac{\partial c(x, z)}{\partial z} \right). \quad (5.5)$$

Z podmínky $\tilde{\tau}_{zx}(x, z(x))$ zjistíme čáry, podél kterých tečná napětí vymizí: $z_0 = z_0(x)$. (5.6)

Nyní budeme přibližně předpokládat, že se kapalina podél těchto křivek chová jako ideální, s rovnoměrným tlakem pro všechny směry, neboť zde chybějí tečná napětí.

Bude tedy pro všechny body $(x, z(x))$ platit:

$$\tilde{\sigma}_x(x, z(x)) = \tilde{\sigma}_y(x, z(x)) = \tilde{\sigma}_z(x, z(x)). \quad (5.7)$$

Za předpokladu, že napětí $\tilde{\sigma}_y = \tilde{\sigma}_z$, (5.8)

bude

$$\tilde{\sigma}_z - \tilde{\sigma}_y = \int \frac{\partial \tilde{\tau}_{zx}}{\partial x} dz + f(x). \quad (5.9)$$

Funkci $f(x)$ lze určit z podmínky

$$\tilde{\sigma}_x(x, z(x)) = \tilde{\sigma}_z(x, z(x)). \quad (5.10)$$

6. MOŽNOSTI EXPERIMENTÁLNÍHO STUDIA NAPJATOSTI V TAVENINĚ VSTŘIKOVANÉ PLASTICKÉ HMOTY

6.1. Stručný rezbor problému

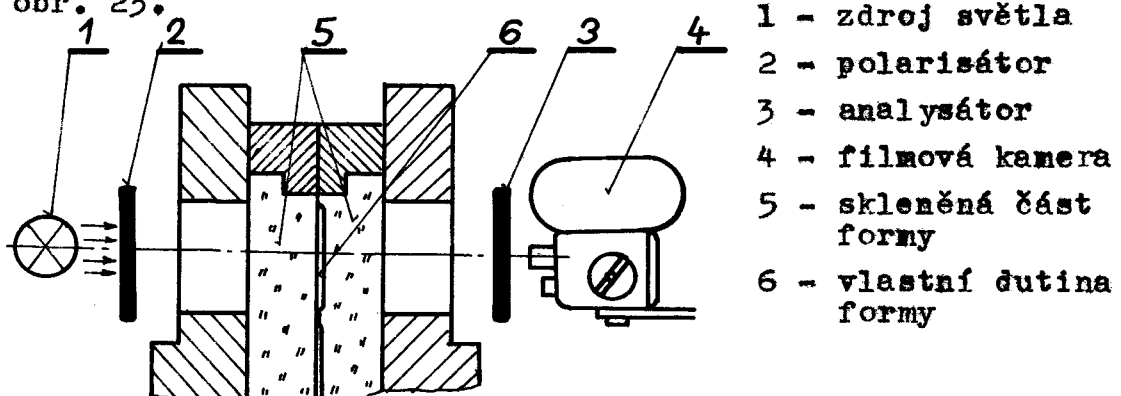
Protože při vstříkování plastických hmot jde o procesy v uzavřené formě, je možno měřit pouze normální napětí, která jsou kolmá ke stěně formy. K tomuto účelu jsou konstruována speciální tlaková čidla, která jsou schopna ve spojení s oscilografem poměrně snadlivě zjistit i časový průběh normálních napětí. Ovšem jediná metoda, která je schopna dát přehled o stavu napjatosti v celém uvažovaném objemu je metoda fotoelasticimetrická. O vhodnosti použití této metody svědčí fakt, že termoplasty používané při vstříkování jsou většinou v nebarveném stavu průhledné.

6.2. Nepřímá fotoelasticimetrická metoda

Zřejmě nejhodnější bude metoda zmrazovací, pomocí níž se řeší prostorové případy v nauce o pružnosti a pevnosti. Jestliže totiž vstříkovací proces vhodným způsobem přerušíme a necháme vychladnout a ztuhnout taveninu v níž působí napětí, pak i tuhý výrobek podrží tu napjatost, jakou měla tavenina. Je ovšem nutno uvážit, do jaké míry se tu uplatní relaxační jevy.

6.3. Přímá fotoelasticimetrická metoda

Princip této metody je zřejmý ze schématu na obr. 23.



Jde tu vlastně o přímé, kontinuální pozorování procesu plnění dutiny formy. Z filmového záznamu je možno získat přehled o průběhu isoklin v pohledu kolmém na největší plochu výstřiku.

Před zavedením této metody bude nutné předem vyzkoušet, jestli se u dané plastické hmoty projeví dečasný dvojlon od zatížení i v tekutém stavu. Dá se to zjistit velice jednoduše následujícím způsobem.

Kádinku nebo zkumavku s granulovanou plastickou hmotou nahříváme tak dlouho, až granule roztají a tavenina dosáhne potřebné vstříkovací teploty. Pak plastickou hmotu zatížíme třeba tím způsobem, že do taveniny ponoříme skleněnou tyčinku. V polarisátoru pak zjistíme, jestli v tavenině vznikají isokliny.

Pro přímou fotoelasticimetrickou metodu by bylo nutné zkonstruovat speciální formu se skleněnými vložkami v nichž by byla vypracována vlastní dutina formy. Konstrukce zkušební formy by byla závislá hlavně na použitém vstříkovacím lisu a tedy na možnosti přístupu k průhledovým otvorům.

Je tu pochopitelně mnoho dalších zajímavých problémů konstrukčního rázu a problémů vhodné volby materiálu, kterými se nebudeme zabývat.

7. ZÁVĚREČNÉ ZHODnocení získaných výsledků a doporučeny další postup

V této práci byla řešena napjatost v tavenině vstřikované plastické hmoty pro isotermický proces. Získaný obecný postup se dá při použití stejných zjednodušujících předpokladů snadno aplikovat i na další obecnější případy (myslí se hlavně výstřiky s proměnnou tloušťkou stěny).

Práce měla charakter čistě teoretický. Bylo by vhodné pokračovat v řešení daného tématu a ověřit po kusně teoreticky získané vztahy pomocí experimentů. Z toho důvodu byly navrženy některé metody, pomocí nichž by se dala studovat napjatost uvnitř formovací dutiny.

Bylo by jistě zajímavé srovnání téhoto řešení s výsledky získanými pomocí jiných metod za použití jiných předpokladů - tedy například při uvažování neisotermického proudění uvnitř dutiny formy (4) nebo při uvažování elasticity taveniny (5).

8. SEZNAM OBRAZKŮ

Obr.č.:	Název	List č.:
1	Vznik tečného napětí v proudivé tekutině	7
2	Vzájemná závislost smykové rychlosti a tečného na- pětí pro newtonské a Bighamské hmoty	8
3	Mechanický model pro demonstraci rheologických vlastností Bighamských hmot	8
4	Závislost zdánlivé viskozity na smykové rychlosti.	9
5	Grafické zobrazení mechnového zákonu v logarit- mických souřadnicích	10
6	Vzájemná závislost smykové rychlosti a tečného na- pětí v logaritmických souřadnicích	11
7	Časový průběh poměrného prodloužení taveniny poly- styrenu o teplotě 110°C při působení různě velkých tahových napětí	11
8	Porevnání teoretického tvaru čelní fronty s výsled- ky získanými experimentálně na plochých tyčích o tloušťkách , $4 \cdot 10^{-3}$ m a , $1 \cdot 10^{-3}$ m	13
9	Tok určený formou a tok určený strojem	13
10	Schema dutiny formy	17
11	Rozber napjatosti pro vynutý element taveniny ..	17
12	Pomocný obrázek pro odvození zákona sdružených tečných napětí	18
13	Předpokládaná deformace elementárního hranelku ...	19
14	Označení elementárních plátek	20
15	Směr působení normálního napětí σ_y	22
16	Parabolický rychloostní profil pro laminární proud	24

Obr.č.:

Název

List č.:

17	Rychlostní parabola	25
18	Napjatost pro element taveniny o výšce h	27
19	Schema dutiny formy s označením směru souřadných os	32
20	Rychlostní parabola	34
21	Rozbor napjatosti pro vytknutý element taveniny ..	37
22	Rychlostní parabola	38
23	Schema navržené přímé fotoelasticimetrické metody.	45

9. SEZNAM POUŽITÉ LITERATURY

- (1) Kalinčev, E.L. - Levin, A.N. : Osnovnyje procesy protěkájuščije v letěvoj formě (PLASTIČESKIE MASSY 1962, č.3)
- (2) Bartěněv, G.M. : Zákonoměrnosti i mechanizm vjazkového těčenia lineárných polymerov (PLASTIČESKIE MASSY 1964, č.22)
- (3) Vinogradov, G.V. - Prozorovskaja, N.V. : Reologičnyje svojstva bločnového polystyrola (PLASTIČESKIE MASSY 1966 , č.2)
- (4) Kazankov, I.V. - Basev, N.I. : Rasschet formujemosti pri neizotermálnom těčenii amorfneho polymera v litěvoj formě (MECHANIKA POLYMEROV 1968, č.1)
- (5) Meißner, J. : Die Kunststoffschmelze als elastische Flüssigkeit (SONDERDRUCK AUS DER ZEITSCHRIFT KUNSTSTOFFE)
- (6) Bauer, W. : Der Formfüllvorgang beim Spritzguß von Thermoplasten (KUNSTSTOFFE 1963 , č.4)
- (7) Heschl, C. - Mevald, J. : PRUŽNOST A PEVNOST PRO TEXTILNÍ INŽENÝRY (VŠST 1966)
- (8) Heschl, C. : PRUŽNOST A PEVNOST II (SNTL 1964)
- (9) Smetana, J. : Hydraulika (NČSAV 1957)
- (10) Brůha, O. : ÚVOD DO NAUKY O PROUDĚNÍ A TEPLU (SNTL 1963)
- (11) Plávka, I. : ZÁKLADY PRŮDENIA (SNTL 1966)
- (12) Szabó, I. : MECHANIKA TUHÝCH TĚLES A KAPALIN (SNTL 1967)

Vysoká škola: strojní a textilní

Katedra: technologie a slévárenství

Fakulta: strojní

Školní rok: 1968/1969

DIPLOMOVÝ ÚKOL

pro Zdeňka Hykše

odbor strojírenská technologie

Protože jste splnil..... požadavky učebního plánu, zadává Vám vedoucí katedry ve smyslu směrnic ministerstva školství o státních závěrečných zkouškách tento diplomový úkol:

Název tématu: Studium podmínek modelování tepelných dějů při tuhnutí jednoduchých odlitrků v keramických skořepinových formách

Pokyny pro vypracování:

- 1) Sledujte stávající způsoby modelování podmínek tuhnutí odlitrků v pískových formách a metody analogového výpočtu.
- 2) Proveďte rozbor základních podmínek podobnosti pro sledování těchto dějů a vytkněte jejich fyzikální význam.
- 3) Experimentálně a početně stanovte závislost hodnot tepelné akumulace formy b_F při teplotách tuhnutí několika různých slitin v jednoduché zasypané keramické formě a sledujte též vliv předehřátí formy, příp. předehřátí slitiny.
- 4) Pokuste se o zobecnění naměřených výsledků a případnou technologickou aplikaci na stávající výrobní způsob.
- 5) Pokuste se o návrh technologicky výhodného způsobu modelování poměrů při tuhnutí odlitrků v keramických formách s případným návrhem na vhodný způsob analogového výpočtu.

Autorské právo se řídí směrnicemi MŠK pro státní závěrečné zkoušky č.j. 51 727/62-III/2 ze dne 13. července 1962 ve Vestníku MŠK XVIII, sešit 24 za dne 31.8.1962 a zákonem o autorském právu č. 115/53 sb.

WYSOKÁ ŠKOLA STROJNÍ A TEXTILNÍ
Fakultní knihovna
LIBEREC 1, STUDENTSKÁ 5

V 39/1969

Grafia 21 - 405-68